

Kapitel 9

Farbe

9.1 Physik

Ein Teil des elektromagnetischen Spektrums wird vom Auge wahrgenommen:

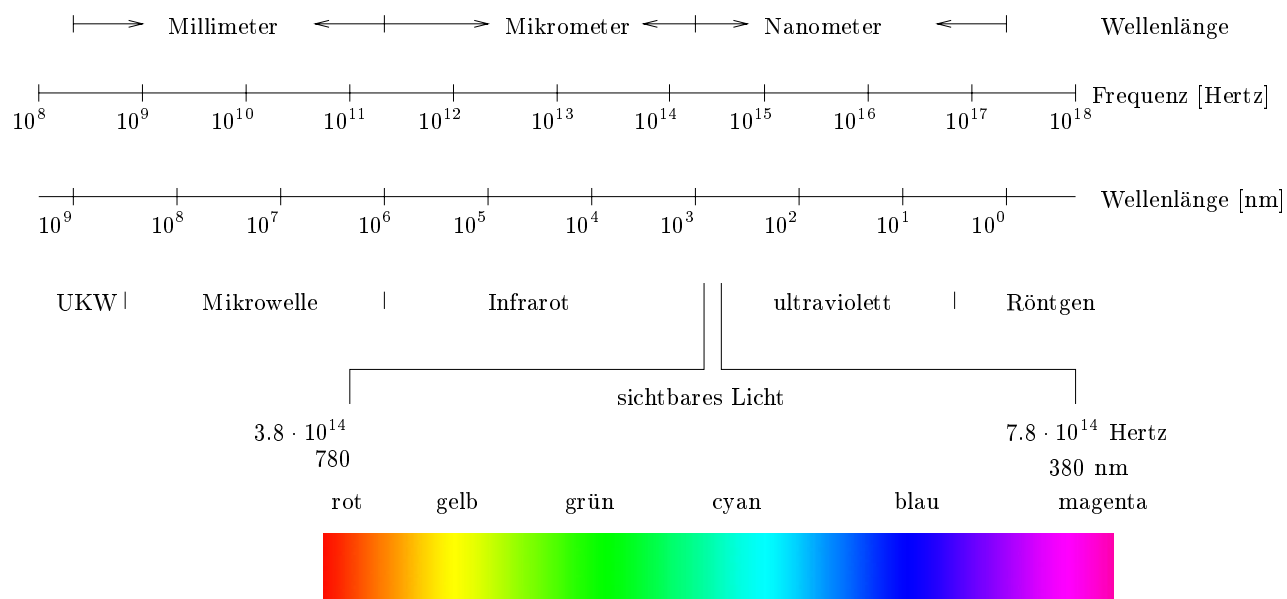


Abbildung 9.1: Elektromagnetisches Spektrum

Es gilt:

- Wellenlänge \cdot Frequenz = Lichtgeschwindigkeit ($= 2.998 \cdot 10^8$ m/s).
- Spektralfarben bestehen aus Licht einer einzigen Wellenlänge.
- In der Natur vorkommende Farben bestehen aus Licht, das aus verschiedenen Wellenlängen zusammengesetzt ist.
- Die Verteilung der Wellenlängen bezeichnet man als Spektrum.

9.2 Dominante Wellenlänge

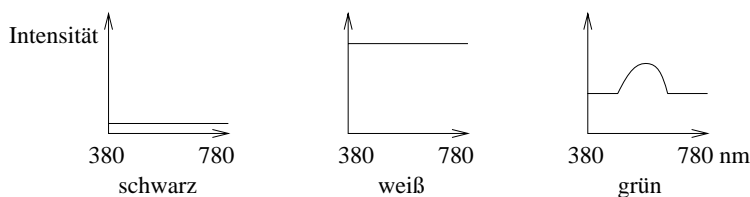


Abbildung 9.2: Spektren zu drei Farben

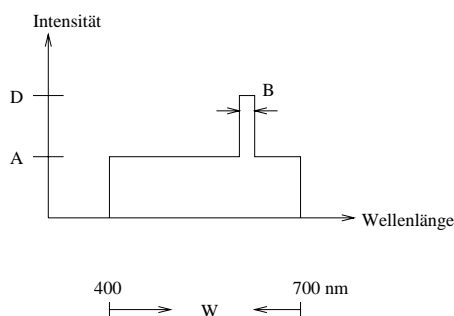


Abbildung 9.3: Dominante Wellenlänge

Eine mögliche Charakterisierung für den Farbeindruck lautet:

hue: Farbton, gegeben durch dominante Wellenlänge.

luminance: Helligkeit = $L = (D \leftrightarrow A) \cdot B + A \cdot W$

saturation: Sättigung, Reinheit, gegeben durch das Verhältnis der Fläche im "Turm" zur Gesamtfläche = $\frac{(D-A) \cdot B}{L}$.

Je weiter A und D auseinanderliegen, desto größer ist die Sättigung, d.h. desto reiner ist die Farbe. Bei $A = 0$ liegt nur die dominante Wellenlänge vor. Bei $A = D$ liegt weißes Licht vor.

Der Mensch kann etwa 128 reine Farbtöne unterscheiden. Pro Farbton können etwa 20 Sättigungsgrade unterschieden werden.

9.3 Grundfarben

Beobachtung: Durch Mischen (= Addieren) von Farben entstehen neue Farben. Wähle 3 Grundfarben, z.B. Rot (R), Grün (G), Blau (B). Bei einer Normierung $R + G + B = 1$ lässt sich jede Kombination durch Angabe von zwei Parametern (siehe Abbildung 9.4) beschreiben (da z.B. B aus R und G folgt).

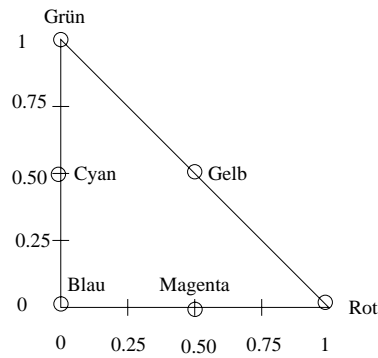


Abbildung 9.4: 2-dimensionale Beschreibung von Farbtönen

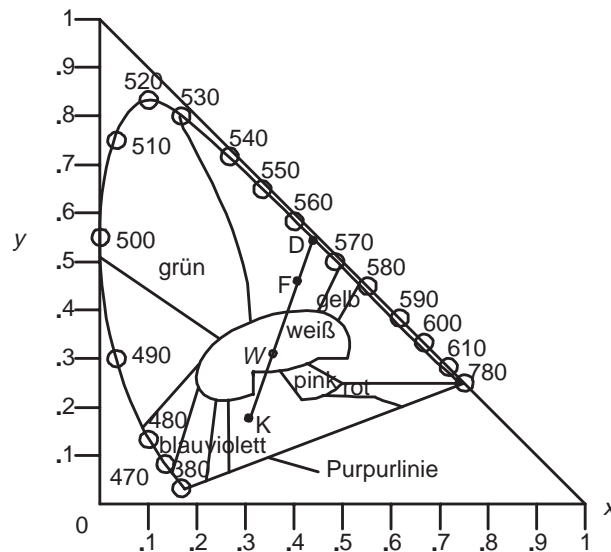


Abbildung 9.5: CIE-Farbdigramm des sichtbaren Spektrum, Angaben zur Wellenlänge in nm

Abbildung 9.5 zeigt den im Jahre 1931 definierten CIE-Standard (*Commission Internationale l'Éclairage*), in dem drei (künstliche) Grundfarben festgelegt wurden, die alle sichtbaren Farben erzeugen können.

Die Grundfarben eines typischen Farbbildschirms haben die (x, y) -Koordinaten

$$\begin{aligned} \text{Rot} &= (0.628, 0.346), \\ \text{Grün} &= (0.268, 0.588), \\ \text{Blau} &= (0.150, 0.070). \end{aligned}$$

Die Reinheit der Farbe F ist der relative Abstand von F zu W , bezogen auf die Strecke \overline{WD} , wobei D den Schnittpunkt der Geraden durch W und F mit der Kurve bildet. D ist die dominante Wellenlänge in F . Das Komplement K der Farbe F ergibt sich durch Spiegelung von F an W mit entsprechender Skalierung.

9.4 RGB-Modell (Rot, Grün, Blau), (additiv)

Zur Ansteuerung der dreifarbigen Phosphorschicht mit roten, grünen, blauen Phosphorpunkten bietet sich das RGB-Modell an. Es handelt sich um ein additives Farbmodell, da das von den Phosphorpunkten ausgehende Licht addiert wird.

Typische Darstellung durch Einheitswürfel:

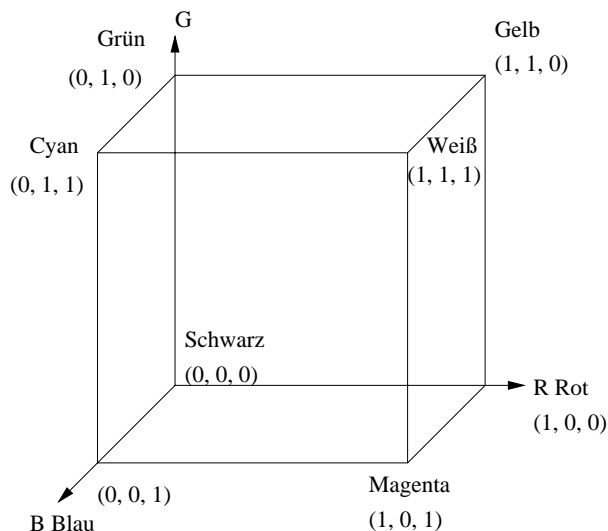


Abbildung 9.6: RGB-Würfel

Häufig werden die drei RGB-Werte statt im reellen Wertebereich $[0, 1]$ in 256 Abstufungen als ganze Zahlen im Bereich $\{0, 1, \dots, 255\}$ angegeben, die in einem Byte kodiert werden. Dadurch ergibt sich die Darstellung einer Farbe in drei RGB-Bytes.

9.5 CMY-Modell (Cyan, Magenta, Yellow), (subtraktiv)

Bei Farbdrukken empfängt das Auge nur solche Anteile des weißen Lichts, die reflektiert werden. Es bietet sich daher ein subtraktives Modell an.

Ein *CMY*-Tripel beschreibt, wieviel von den Grundfarben Cyan, Magenta, Yellow reflektiert bzw. von den Grundfarben Rot, Grün, Blau absorbiert wird.

| | | | |
|----------|-------------|--------------------|----------------|
| Es gilt: | $(0, 0, 0)$ | absorbiert nichts | bleibt Weiß |
| | $(0, 0, 1)$ | absorbiert Blau | bleibt Gelb |
| | $(0, 1, 0)$ | absorbiert Grün | bleibt Magenta |
| | $(1, 0, 0)$ | absorbiert Rot | bleibt Cyan |
| | $(0, 1, 1)$ | absorbiert Cyan | bleibt Rot |
| | $(1, 0, 1)$ | absorbiert Magenta | bleibt Grün |
| | $(1, 1, 0)$ | absorbiert Gelb | bleibt Blau |
| | $(1, 1, 1)$ | absorbiert alles | bleibt Schwarz |

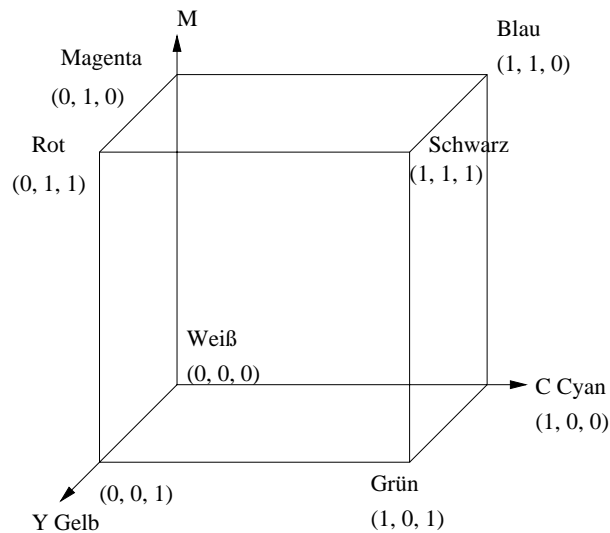


Abbildung 9.7: CMY-Würfel

Beispiel: (0, 1, 0) Magenta gemischt mit (0, 0, 1) Gelb ergibt (0, 1, 1) Rot
 (1, 0, 0) Cyan gemischt mit (0, 0, 1) Gelb ergibt (1, 0, 1) Grün
 (1, 0, 0) Cyan gemischt mit (0, 1, 0) Magenta ergibt (1, 1, 0) Blau

Die Umrechnung zwischen dem CMY- und dem RGB-Modell erfolgt in Vektorschreibweise über die Subtraktionen

$$\begin{pmatrix} R \\ G \\ B \end{pmatrix} = \begin{pmatrix} S \\ S \\ S \end{pmatrix} \Leftrightarrow \begin{pmatrix} C \\ M \\ Y \end{pmatrix} \quad \text{und} \quad \begin{pmatrix} C \\ M \\ Y \end{pmatrix} = \begin{pmatrix} W \\ W \\ W \end{pmatrix} \Leftrightarrow \begin{pmatrix} R \\ G \\ B \end{pmatrix}$$

wobei die Vektoren $[S, S, S]$ im CMY-Modell und $[W, W, W]$ im RGB-Modell gleich $[1, 1, 1]$ sind.

9.6 Das YIQ-Modell

Beim 1953 in den USA eingeführten *NTSC-System* (National Television Standards Committee) werden die Farben durch die Farbparameter *YIQ* beschrieben, wobei *Y* die Helligkeit darstellt. Die Umrechnung zum RGB-Modell erfolgt durch die Formeln

$$\begin{pmatrix} Y \\ I \\ Q \end{pmatrix} = \begin{pmatrix} .299 & .587 & .114 \\ .596 & \Leftrightarrow .274 & \Leftrightarrow .322 \\ .211 & \Leftrightarrow .522 & .311 \end{pmatrix} \cdot \begin{pmatrix} R \\ G \\ B \end{pmatrix}$$

$$\begin{pmatrix} R \\ G \\ B \end{pmatrix} = \begin{pmatrix} 1 & 0.956 & 0.623 \\ 1 & \Leftrightarrow 0.272 & \Leftrightarrow 0.648 \\ 1 & \Leftrightarrow 1.105 & 1.705 \end{pmatrix} \cdot \begin{pmatrix} Y \\ I \\ Q \end{pmatrix}$$

Beim europäischen *PAL-System* (Phase Alternating Line) werden statt der Parameter I und Q die Farbdifferenzen $R \Leftrightarrow Y$ und $B \Leftrightarrow Y$ übertragen.

Die Konvertierung der Farbinformation in Monochrom-Darstellung erfolgt in beiden Systemen durch Auswertung des Helligkeitsparameters Y .

9.7 YUV-Modell

Ein Farbwert wird beschrieben durch ein YUV-Tripel, wobei Y die Helligkeit (Luminanz) bezeichnet und U, V Farbdifferenzen (Chrominanz). Die Helligkeitsempfindung resultiert zu 59 % aus dem Grünanteil, zu 30 % aus dem Rotanteil und zu 11 % aus dem Blauanteil:

$$Y = 0.299 \cdot R + 0.587 \cdot G + 0.114 \cdot B$$

In den Farbdifferenzen (mit historisch begründeten Normierungsfaktoren) ist die restliche Information codiert:

$$\begin{aligned} U &= 0.493 \cdot (B \Leftrightarrow Y) \\ V &= 0.877 \cdot (R \Leftrightarrow Y) \end{aligned}$$

Der Vorteil dieses Farbmodells liegt darin begründet, daß in der Y -Komponente das Bild als Matrix von Grauwerten vorliegt und ggf. separat von der Farbinformation weiterverarbeitet werden kann.

9.8 HSV-Modell

Zur intuitiven Beschreibung einer Farbe eignet sich das HSV-Modell, welches jede Farbe durch ein Tripel

- Hue = Farbton
- Saturation = Sättigung
- Value = Helligkeit

beschreibt.

Projiziere den *RGB*-Würfel längs der Weiß-Schwarz-Diagonale (Abbildung 9.8).

Dieses Sechseck bildet die Basis einer Pyramide. Die Wahl des Farbtons (hue) geschieht durch Angabe eines Winkels ($0^\circ = \text{Rot}$).

Der Parameter V liegt zwischen 0 und 1 und bestimmt die Intensität der Farbe (dargestellt durch die Senkrechte). Der Parameter S liegt zwischen 0 und 1 und bestimmt die Reinheit der Farbe (Entfernung von der Senkrechten). Die Farbselektion kann erfolgen, indem z.B. zunächst eine reine Farbe ausgewählt wird ($H = \alpha, V = 1, S = 1$). Das Hinzumischen von Weiß zur Erzeugung von Pastellfarben erfolgt durch Reduktion von S bei konstantem V . Das Hinzumischen von Schwarz (zur Erzeugung von dunklen Farben) erfolgt durch Reduktion von V bei konstantem S .

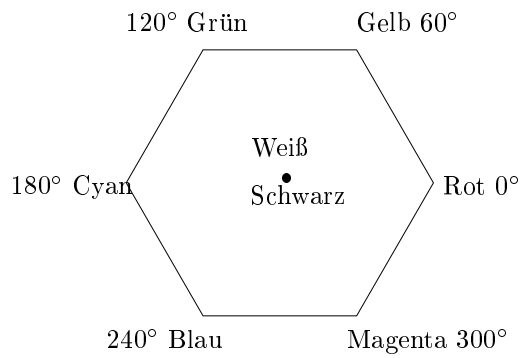


Abbildung 9.8: Gradeinteilung für Farbtöne im HSV-Modell

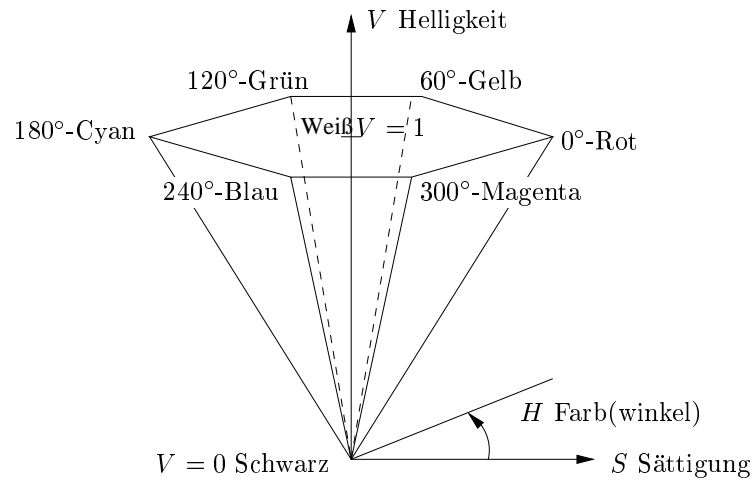


Abbildung 9.9: HSV-Modell

Umrechnung von *RGB* nach *HSV*

Die Achse V entspricht der Diagonalen im *RGB*-Würfel durch die Punkte Schwarz und Weiß, deshalb ist der Wert für V gleich dem Maximum der *RGB*-Intensitäten. Die Werte H und S können aus der Position des Punktes in jenem Sechseck berechnet werden, das durch Projektion des kleinsten, den *RGB*-Punkt beinhaltenden Würfels erzeugt wird.

Beispiel: Welche *HSV*-Darstellung haben die *RGB*-Bytes (64, 128, 32)?

Im *RGB*-Einheitswürfel entspricht dies

$$\left(\frac{1}{4}, \frac{1}{2}, \frac{1}{8}\right).$$

$$v = \max(r, g, b) = \frac{1}{2} = 50 \%$$

$$mi := \min(r, g, b) = \frac{1}{8}$$

$$s = \frac{v \leftrightarrow mi}{v} = \frac{\frac{3}{8}}{\frac{1}{2}} = \frac{3}{4} = 75 \%$$

Die dominante Grundfarbe ist Grün, da $v = g$.

Am schwächsten ist Blau vertreten, da $mi = b$.

⇒ Farbe im Bereich Gelb ... Grün

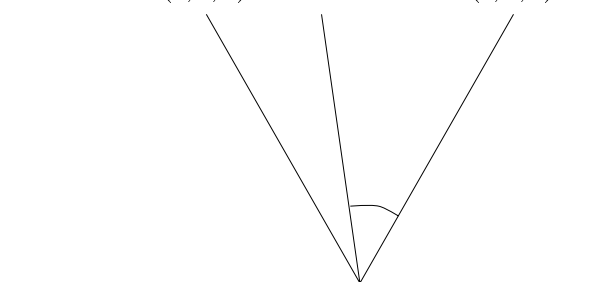
⇒ $h = 60^\circ \dots 120^\circ$.

$$h = \left(1 + \frac{v \leftrightarrow r}{v \leftrightarrow mi}\right) \cdot 60^\circ = \left(1 + \frac{\frac{1}{4}}{\frac{3}{8}}\right) \cdot 60^\circ = \left(1 + \frac{2}{3}\right) \cdot 60^\circ = 100^\circ$$

Umrechnung von *HSV* nach *RGB*

Beispiel: Wie lauten die *RGB*-Bytes (Werte zwischen 0 und 255) für den Farbton 100° bei 75 % Sättigung und 50 % Helligkeit?

| | | |
|----------------|-------------|-------------|
| Farbton = Grün | ? | Gelb |
| $h =$ | 120° | 100° |
| $RGB =$ | $(0, 1, 0)$ | $(1, 1, 0)$ |



$$f = \frac{\text{Winkel}/60}{\frac{5}{3}} - \frac{\text{Winkel div } 60}{1} = \frac{2}{3}$$

| | <i>R</i> | <i>G</i> | <i>B</i> | | <i>R</i> | <i>G</i> | <i>B</i> | |
|----------------|---|----------|---------------------------------|---|---|---------------|---------------|-----------------------|
| Farbton h | $1 \leftrightarrow f$ | 1 | 0 | ⇒ | $\frac{1}{3}$ | 1 | 0 | für $f = \frac{2}{3}$ |
| Sättigung s | $1 \leftrightarrow s \cdot f$ | 1 | $1 \leftrightarrow s$ | ⇒ | $1 \leftrightarrow \frac{3}{4} \cdot \frac{2}{3} = \frac{1}{2}$ | 1 | $\frac{1}{4}$ | für $s = \frac{3}{4}$ |
| Helligkeit v | $v \cdot (1 \leftrightarrow s \cdot f)$ | v | $v \cdot (1 \leftrightarrow s)$ | ⇒ | $\frac{1}{4}$ | $\frac{1}{2}$ | $\frac{1}{8}$ | für $v = \frac{1}{2}$ |

Lösung:

64 128 32

9.9 HLS-Modell

Das HLS-Modell (hue, lightness, saturation) ist dem HSV-Modell ähnlich. Die Farbe (hue) wird ebenfalls als Winkel in einem Farbkreis angegeben. Die Reihenfolge der Farben auf diesem Kreis ist zwar identisch der beim HSV-Modell, jedoch liegt beim HLS-Modell die Farbe Blau bei 0° , d.h. um 120° verdreht.

Auch der Parameter S (aturation) entspricht dem HSV-Modell und liegt ebenfalls im Bereich $[0, 1]$. Der Wert $S = 1$ entspricht maximaler Reinheit, und für $S = 0$ erhält man die Grauskala.

Der Parameter L (ightness) entspricht in etwa dem Parameter V (alue), wobei allerdings aus der Pyramide durch "Hochziehen" des Punktes $S = 0, V = 1$ ein Doppelkegel entsteht. Die Werte $L = 0$ und $L = 1$ beschreiben die Farben Schwarz und Weiß, und die Farben maximaler Sättigung liegen auf der Ebene durch $L = 0.5$.

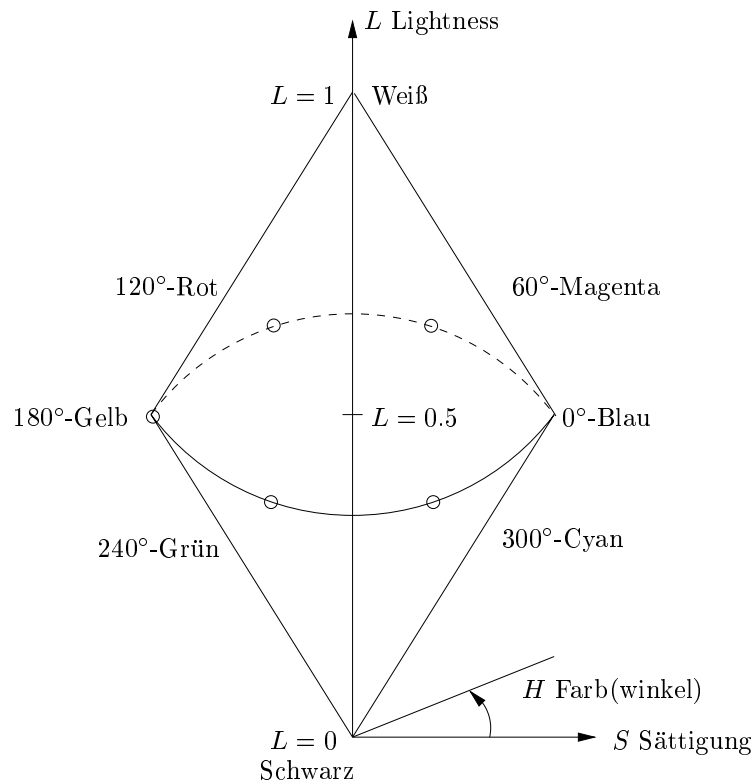


Abbildung 9.10: HLS-Modell

Bemerkung

Die lineare Interpolation zwischen zwei Farben geschieht beim RGB-, CMY-, YIQ- und YUV-Modell längs der Verbindungsstrecke zwischen diesen Farben im dreidimensionalen Farbraum. Im allgemeinen ist dies aber beim HSV- und HLS-Modell nicht der Fall.

9.10 Color Data Base

In einer Datenbank sind Byte-Tripel abgelegt zu einer Auswahl von Farbbeschreibungen, z.B.

```

205  92  92  indian red
124 252   0  lawn green
 25  25 112  midnight blue
210 105  30  chocolate

```

9.11 CNS

Zur verbalen Beschreibung einer Farbe eignet sich das CNS-Modell (*Color Name System*).

Zur Beschreibung des Farbtons verwende *red, orange, yellow, green, blue, purple*. Zur Beschreibung der Sättigung verwende *grayish, moderate, strong, vivid*. Zur Beschreibung der Helligkeit verwende *very dark, dark, medium, light, very light*.

Die achromatische Skala besteht aus den sieben Grautönen *black, very dark gray, dark gray, gray, light gray, very light gray, white*.

9.12 Color Table (Farbtabelle)

In einem Digitalrechner erwartet der Video-Controller die Farbinformation als Byte-Tripel. Aus Platzgründen können nicht immer für jedes Bildschirmpixel 3 Bytes gespeichert werden. Statt dessen speichert man pro Pixel einen Index, bestehend aus p Bits, mit dem man ein *RGB*-Byte-Tripel aus der Color Table referieren kann.

Beispiel: $p = 2$, d.h. $2^2 = 4$ Farben gleichzeitig darstellbar.

| Index | R | G | B | |
|-------|-----|-----|-----|------|
| 0 | 255 | 0 | 0 | Rot |
| 1 | 0 | 255 | 0 | Grün |
| 2 | 0 | 0 | 255 | Blau |
| 3 | 255 | 255 | 0 | Gelb |

Die Color Table kann verwendet werden, um mehrere Bilder dynamisch zu überlagern und wieder zu trennen, ohne die Bilder neu zu zeichnen.

Beispiel: In ein farbiges Bild mit den 8 Farben Schwarz, Grau, Rot, Gelb, Grün, Cyan, Blau, Magenta soll eine Grafik, bestehend aus weißen Linien, ein- und ausgeblendet werden. Pro Pixel seien 4 Bits als Index in der Color Table vorgesehen: Das vorderste Bit beschreibt die weiße Grafik, die hinteren 3 Bits beschreiben die Farbe.

| Index | <i>R</i> | <i>G</i> | <i>B</i> | |
|-------|----------|----------|----------|---------|
| 0000 | 255 | 255 | 255 | |
| 0001 | 255 | 255 | 255 | |
| 0010 | . | . | . | |
| 0011 | . | . | . | |
| 0100 | . | . | . | |
| 0101 | . | . | . | |
| 0110 | . | . | . | |
| 0111 | 255 | 255 | 255 | |
| 1000 | 0 | 0 | 0 | Schwarz |
| 1001 | 150 | 150 | 150 | Grau |
| 1010 | 255 | 0 | 0 | Rot |
| 1011 | 255 | 255 | 0 | Gelb |
| 1100 | 0 | 255 | 0 | Grün |
| 1101 | 0 | 255 | 255 | Cyan |
| 1110 | 0 | 0 | 255 | Blau |
| 1111 | 255 | 0 | 255 | Magenta |

Offenbar werden alle Pixel mit vorderstem Bit= 0 weiß gezeichnet, alle Pixel mit vorderstem Bit= 1 erhalten die zugewiesene Farbe. Kopiert man nun die untere Hälfte der Color Table in die obere Hälfte, so verschwindet die weiße Grafik. Setzt man die obere Hälfte der Color Table auf Weiß, erscheint die Grafik wieder. Der Aufwand hängt nur von der Größe der Farbtabelle ab, nicht von der Größe der Bilder.

Die Color Table kann auch zur Animation verwendet werden.

Beispiel: Ein (beliebig komplexes) Objekt der Farbe Grün soll sich zyklisch über 15 disjunkte Positionen bewegen. Beschreibe die Szene wie folgt:

Alle Pixel des Objekts in Lage i erhalten den Index i .

Alle Pixel des Hintergrunds erhalten den Index 15.

Die Color Table ist für alle Einträge mit der Hintergrundfarbe geladen. Das Objekt taucht bei Position i auf durch `color_table[i] := Objektfarbe`. Es verschwindet von Position i durch `color_table[i] := Hintergrundfarbe`.

Bei sich überlagernden Objekten wird für jede Position eine Bit-Plane benötigt: Alle Pixel des Objekts in Lage i setzen das i -te Bit in ihrem Index auf 1. Das Objekt wird bei Position i sichtbar, indem für Indizes mit i -tem Bit = 1 die Objektfarbe gesetzt wird.

Die Anzahl der Bit-Planes entspricht der Anzahl der Bits im Index.

Darstellung eines True-Color-Bildes auf einem 8-Bit-Farbschirm

Es wird eine Farbtabelle initialisiert, die einem $6 \times 6 \times 6$ RGB-Würfel entspricht. D.h. auf insgesamt 216 Einträge verteilt befindet sich das Farbspektrum mit je 6 verschiedenen Rot-, Grün- und Blau-Abstufungen. Jedem RGB-Tripel des True-Color-Bildes wird der Index des nächstgelegenen Farbeintrags zugeordnet. Hierzu wird der Bereich $0 \dots 255$ in 6 Intervalle partitioniert, denen ein quantisierter Wert zugeordnet ist:

| x | 0 ... 25 | 26 ... 76 | 77... 127 | 128 ... 178 | 179 ... 229 | 230 ... 255 |
|--------|----------|-----------|-----------|-------------|-------------|-------------|
| $q(x)$ | 0 | 51 | 102 | 153 | 204 | 255 |

$$q(x) := \left\lfloor \frac{x + 25}{51} \right\rfloor \cdot 51$$

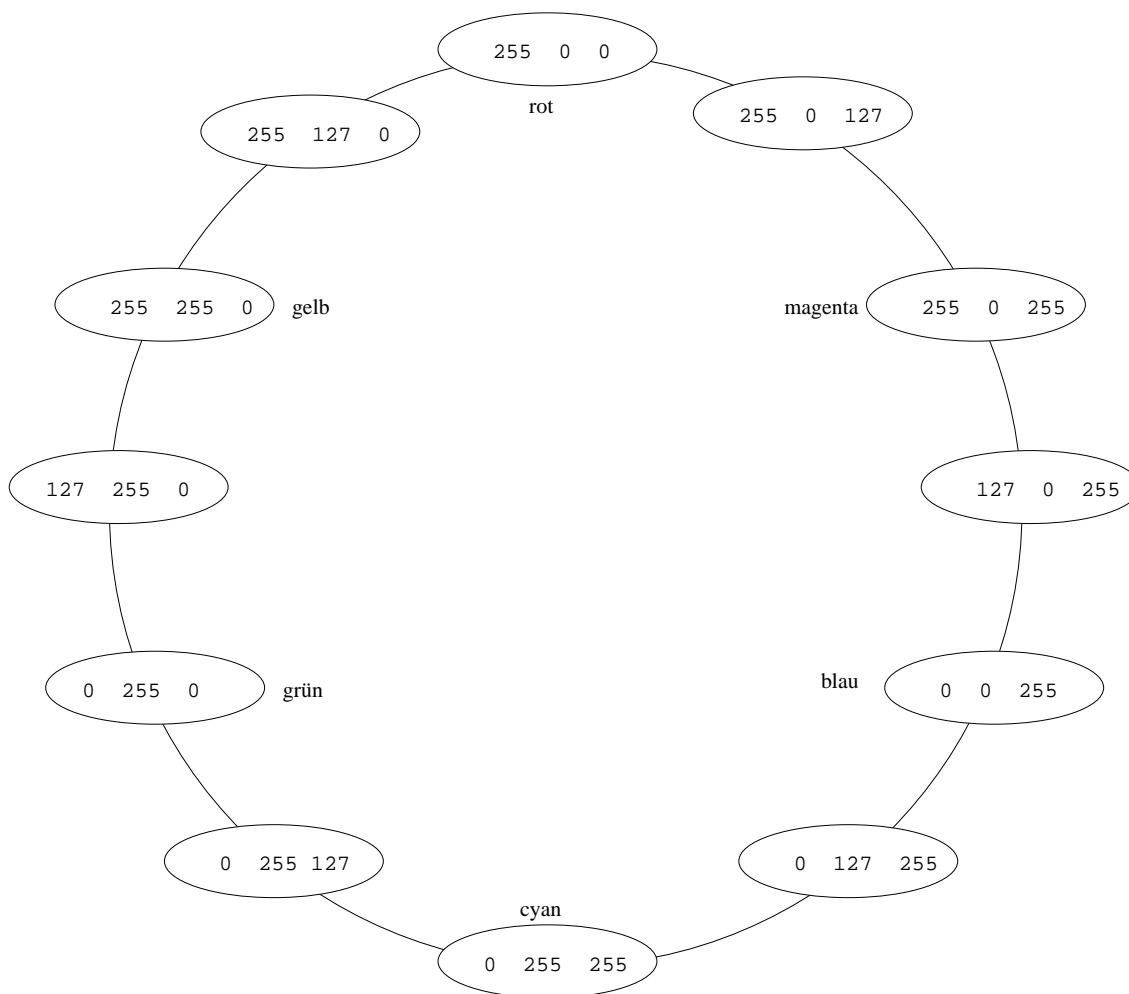


Abbildung 9.11: 12 typische Einträge einer Farbtabelle für einen Bildschirm mit 4 Bit Farbtiefe

Hi-Color-Modus

Beim Hi-Color-Modus werden die Rot-, Grün-, Blauanteile eines Pixels durch den Grafikkartentreiber auf $5 + 6 + 5 = 16$ Bit gerundet, d.h., die letzten 3 bzw. 2 Bit werden abgeschnitten. Der resultierende 2 Byte lange Index wird im Bildspeicher abgelegt. Beim Auslesen läßt sich daraus unmittelbar ein Spannungstriplet erzeugen, eine Farbtabelle wird nicht benötigt. Es sind also $2^{16} = 65536$ Farben gleichzeitig darstellbar.

Beim Einlesen eines Palettenbildes wird jedem Bildpunkt der 2-Byte Index zugeordnet, der sich nach Rundung des referierten Farbtableneintrags ergibt. Danach wird die Farbtabelle nicht mehr benötigt.

9.13 Beispiel-Applet zu Farbe

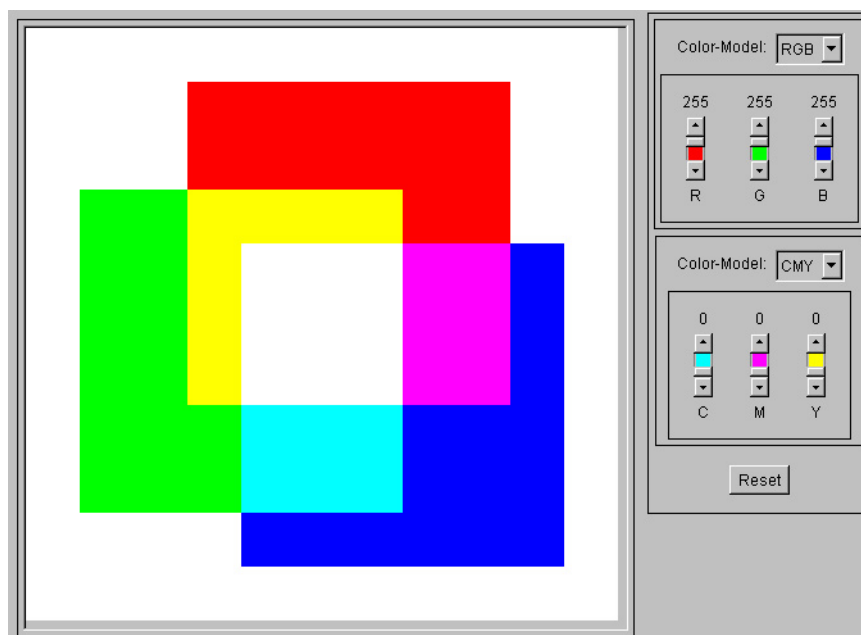


Abbildung 9.12: Screenshot vom Farben-Applet

Kapitel 10

Pixeldateiformate

10.1 TIF

Eines der häufig verwendeten Dateiformate zur Speicherung von Pixelbildern wurde von Aldus Corporation, Seattle, USA, entwickelt: *Tag Image File Format*, abgekürzt TIF.

| | | |
|-------------------|--------------|---|
| Dateikopf: | 1. Wort | 4d4d Motorola (high order first) |
| | | 4949 Intel (low order first) |
| | 2. Wort | 002a Versionsnummer (konstant) |
| | 3. + 4. Wort | Offset des ersten IFD (Image File Directory) |
| IFD: | 1. Byte | Anzahl der Tags im IFD, jedes Tag besteht aus 12 Bytes |
| Aufbau eines Tag: | | |
| | 1. Wort | Identifikation des Tags (es gibt 45 Tags) |
| | 2. Wort | Typ der Daten |
| | | 1: Byte |
| | | 2: 0-terminierter String von ASCII-Zeichen |
| | | 3: short = 16-Bit unsigned integer (0000-ffff) |
| | | 4: long = 32-Bit unsigned integer (00000000-ffffffff) |
| | | 5: Rational = Bruch aus 2 long-Werten |
| | | 11: float = im IEEE-Format, einfache Genauigkeit |
| | | 12: double = im IEEE-Format, doppelte Genauigkeit |
| | 3. + 4. Wort | Anzahl der Daten für dieses Tag |
| | 5. + 6. Wort | Tag-Daten |
| | | falls mit ≤ 4 Bytes darstellbar : von links nach rechts füllen |
| | | falls mehr als 4 Bytes benötigt: 32-Bit Startadresse für Daten |
| Datenblock: | | RGB-Werte oder Indizes (ggf. komprimiert) für die Farbtabelle |

| Offset | Bedeutung | Wert |
|--------|----------------------------|--|
| 0100 | ImageWidth | z.B. 814 |
| 0101 | ImageLength | z.B. 517 |
| 0102 | Bits per Sample | z.B. 8, ggf. Zeiger auf 3 shorts |
| 0103 | Compression | 1 keine Komprimierung 2 CCITT Gruppe 3 (nur bei Schwarz/Weiß) 3 CCITT Gruppe T4 (nur bei Schwarz-Weiß) 4 CCITT Gruppe T6 (nur bei Schwarz/Weiß) 5 LZW 6 JPEG 32773 Packbit mit Lauflängen-Kodierung |
| 0106 | Photometric Interpretation | 0 S/W mit 0=Weiß, wachsende Nummern gegen Schwarz 1 S/W mit 0=Schwarz, wachsende Nummern gegen Weiß 2 RGB-Farbbild, pro Pixel drei Farbwerte, 0,0,0=Schwarz 3 Palettenbild, pro Pixel ein Index in Palette 4 Transparenzmaske für ein weiteres Bild 5 CMYK-Farbsystem, pro Pixel 4 Farbwerte 6 YUV-Farbsystem, pro Pixel Luminanz + 2 Chrominanz |
| 0111 | Strip Offset | Startadresse des Datenblocks (meistens \$0008) |
| 0112 | Orientation | 1 horizontal, beginnend oben links |
| 0115 | Samples per Pixel | 3 bei RGB-Bildern 1 sonst |
| 0116 | Rows per Strip | wenn 1 Block: Bildhöhe wenn > 1 Block: Anzahl Zeilen pro Block |
| 0117 | Strip Byte Counts | wenn 1 Block: Anzahl der Bytes im Block wenn > 1 Block: Zeiger auf Feld mit Streifenlängen |
| 011a | X Resolution | Zeiger auf 2 long Werte, zB. 300 1 |
| 011b | Y Resolution | Zeiger auf 2 long Werte, zB. 300 1 |
| 0128 | Resolution unit | 1 keine Einheit 2 Inch 3 Zentimeter |
| 011c | Planar Configuration | 1 RGBRGBRGB ... 2 RRRR... GGGG.... BBBB.... |
| 0140 | Color map | Anzahl der Einträge + Startadresse Jeder Farbwert $0 \leq w = 255$ wird als Wort ww abgelegt |

Tag-Art : True Color Bild

```

4d4d                                     Position 0:
002a                                     Motorola
0013  43ba                               Versionsnr. (konstant)
                                         Offset des IFD $001343ba = 1262522

                                         Position 8:
ebe9  e7e2  e4c0  b3bd  9a9c  a387   Beginn der RGB-Werte, insgesamt 814*517*3 Bytes
9178  5294  724b  8d6f  4b8e  7453
a79e  6da8  a06f  a19b  759d  a486
a6ac  8aa2  aa92  a7ac  9ba5  a995
...
...
...

000b                                     Position 1262522: Beginn des Image File Directory
                                         $000b = 11 Tags zu je 12 Bytes

0100  0003  0000  0001  032e  0000   Breite, 1 short, Wert 3*256 + 2*16 + 14 = 814
0101  0003  0000  0001  0205  0000   Höhe, 1 short, Wert 2*256 + 0*16 + 5 = 517
0102  0003  0000  0003  0013  4444   Bits per sample, 3 short, Adresse $134444=1262660
0103  0003  0000  0001  0001  0000   Compression, 1 short, Wert=1 (keine Kompression)
0106  0003  0000  0001  0002  0000   Photometric, 1 short, Wert=2 (RGB-Farbbild)
0111  0004  0000  0001  0000  0008   StripOffsets,1 long, Wert=8 (Startadresse)
0112  0003  0000  0001  0001  0000   Orientierung,1 short, Wert = 1 (zeilenweise links/oben)
0115  0003  0000  0001  0003  0000   Samples per Pixel, 1 short, Wert=3 (RGB)
0116  0004  0000  0001  0000  0205   Rows per Strip, 1 long, Wert $205 = 517 (Zeilen)
0117  0004  0000  0001  0013  43b2   StripByteCounts, 1 long, Wert = 1262514 (Bytes)
011c  0003  0000  0001  0001  0000   Planar Konfiguration, 1 short, Wert=1 (RGBRGB...)

0000  0000                               Ende IFD, kein weiteres IFD

0008  0008  0008                               Position 1262660:
                                         jeweils 8 Bit pro Farbwert

```

kommentierter Hex-Dump zu einem True-Color-Bild im tif-Format

```

Vorspann                               8 Bytes
814 * 517 RGB-Tripel                    1262514 Bytes
IFD 11 * 12 + 12                         144 Bytes
→ Dateilänge                             1262666 Bytes

```

Tag-Art : Palettenbild

| | | | | | | |
|------|------|------|------|------|------|--|
| 4d4d | | | | | | Position 0: |
| 002a | | | | | | Motorola |
| 0006 | 6be | | | | | Versionsnr. (konstant) |
| | | | | | | Offset des IFD \$00066bee = 420846 |
| | | | | | | Position 8: |
| fe68 | bd52 | 6f6f | 6f6f | 0101 | 01f4 | Beginn der Indizes, insgesamt 814*517 Bytes |
| 5252 | e952 | 2abd | 522a | 5252 | b252 | |
| 0000 | 016f | 076f | 01bd | e952 | 3877 | |
| ea3a | 3838 | 38a1 | 0101 | 3a38 | 01be | |
| . | | | | | | |
| . | | | | | | |
| 000c | | | | | | Position 420846: Beginn des Image File Directory |
| | | | | | | \$000c = 12 Tags zu je 12 Bytes |
| 0100 | 0003 | 0000 | 0001 | 032e | 0000 | Breite, 1 short, Wert \$32e = 814 |
| 0101 | 0003 | 0000 | 0001 | 0205 | 0000 | Höhe, 1 short, Wert \$205 = 517 |
| 0102 | 0003 | 0000 | 0001 | 0008 | 0000 | Bits per sample, 1 short, Wert = 8 (Adresse) |
| 0103 | 0003 | 0000 | 0001 | 0001 | 0000 | Compression, 1 short, Wert=1 (keine Kompression) |
| 0106 | 0003 | 0000 | 0001 | 0003 | 0000 | Photometric, 1 short, Wert=3 (Palette) |
| 0111 | 0004 | 0000 | 0001 | 0000 | 0008 | StripOffsets,1 long, Wert=8 (Startadresse) |
| 0112 | 0003 | 0000 | 0001 | 0001 | 0000 | Orientierung,1 short, Wert=1 (zeilenweise l.o.) |
| 0115 | 0003 | 0000 | 0001 | 0001 | 0000 | Samples per Pixel, 1 short, Wert=1 (Palette) |
| 0116 | 0004 | 0000 | 0001 | 0000 | 0205 | Rows per Strip, 1 long, Wert \$205 = 517 (Zeilen) |
| 0117 | 0004 | 0000 | 0001 | 0006 | 6be6 | StripByteCounts,1 long, Wert = 420838 (Bytes) |
| 011c | 0003 | 0000 | 0001 | 0001 | 0000 | Planar Konfiguration, 1 short, Wert=1 (RGBRGB..) |
| 0140 | 0003 | 0000 | 0300 | 0006 | 6c84 | Colormap, \$300 = 768 short, beginnend bei \$66c84 |
| 0000 | 0000 | | | | | Ende IFD, kein weiteres IFD |
| | | | | | | Position: \$66c84 = 420996 |
| | | | | | | Palette mit 768 Doppelbytes |
| b8b8 | a8a8 | 1010 | 3c3c | 0808 | 2424 | |
| b4b4 | a8a8 | 1c1c | 9898 | 6868 | 3838 | |
| 3c3c | 5858 | 2c2c | 7070 | 6464 | 8080 | |
| . | | | | | | |
| . | | | | | | |
| 3030 | 1414 | 1010 | 3030 | 2020 | 3c3c | |
| 7070 | 2828 | d8d8 | 1010 | 2828 | 2020 | |
| 7474 | 1414 | acac | a8a8 | e4e4 | e4e4 | |

kommentierter Hex-Dump zu einem Palettenbild im tif-Format

| | |
|---------------------|--------------|
| Vorspann | 8 Bytes |
| 814 * 517 Indizes | 420838 Bytes |
| IFD 12 * 12 + 6 | 150 Bytes |
| Palette 3 * 256 * 2 | 1536 Bytes |
| → Dateilänge | 422532 Bytes |

10.2 PBM, PGM, PNM und PPM

Die *Portable Bitmap Utilities* (PBM, auch pbmplus oder netpbm) sind eine Sammlung freierhältlicher Programme, die von Jef Poskanzer gepflegt werden. Es handelt sich eigentlich um drei Programmpakete, die sich mit unterschiedlichen Bildarten und File-Formaten befassen:

- Die Portable Bitmap Utilities (PBM) manipulieren monochrome Bilder.
- Die Portable Greymap Utilities (PGM) manipulieren Grauwert-Bilder.
- Die Portable Pixmap Utilities (PPM) manipulieren Farbbilder.

Die Portable Anymap Utilities (PNM) arbeiten auf allen von den drei Programmpaketen erzeugten Bilddateien. Für PNM gibt es kein eigenes Dateiformat.

Die PBM-, PGM- und PPM-File-Formate sind so einfach wie möglich gehalten. Sie starten jeweils mit einem Header, dem die Bildinformation unmittelbar folgt. Der Header ist immer in ASCII geschrieben, wobei die einzelnen Einträge durch White Spaces getrennt werden. Die Bildinformation kann entweder im ASCII- oder Binärformat sein.

Es gibt jeweils zwei Header-Versionen, von denen eine für ASCII- und eine für binäre Bildinformationen benutzt wird.

PBM-Header

Ein PBM-Header besteht aus folgenden Einträgen, jeweils durch White Spaces getrennt:

| | |
|--------------|---|
| Magic Value | P1 für ASCII-, P4 für binäre Bildinformation |
| Image Width | Breite des Bildes in Pixeln (ASCII-Dezimalwert) |
| Image Height | Höhe des Bildes in Pixeln (ASCII-Dezimalwert) |

PGM-Header

Ein PGM-Header besteht aus folgenden Einträgen, jeweils durch White Spaces getrennt:

| | |
|--------------|---|
| Magic Value | P2 für ASCII-, P5 für binäre Bildinformation |
| Image Width | Breite des Bildes in Pixeln (ASCII-Dezimalwert) |
| Image Height | Höhe des Bildes in Pixeln (ASCII-Dezimalwert) |
| Max Grey | Maximaler Grauwert (ASCII-Dezimalwert) |

PPM-Header

Ein PPM-Header besteht aus folgenden Einträgen, jeweils durch White Spaces getrennt:

| | |
|--------------|---|
| Magic Value | P3 für ASCII-, P6 für binäre Bildinformation |
| Image Width | Breite des Bildes in Pixeln (ASCII-Dezimalwert) |
| Image Height | Höhe des Bildes in Pixeln (ASCII-Dezimalwert) |
| Max Color | Maximaler Farbwert (ASCII-Dezimalwert) |

Bildinformation in ASCII

Nach dem Header folgt die Beschreibung der Breite \times Höhe vielen Pixel, beginnend in der linken oberen Bildecke zeilenweise von links nach rechts.

Bei PPM besteht jedes Pixel aus drei ASCII-Dezimalwerten zwischen 0 und dem angegebenen maximalen Farbwert, die die Rot-, Grün- und Blauwerte des Pixels darstellen.

Bei PBM und PGM gibt es nur einen ASCII-Dezimalwert pro Pixel. Bei PBM ist der maximale Wert implizit 1; die Werte müssen nicht durch White Spaces getrennt werden.

Beispiel:

Das folgende Beispiel stellt ein 4×4 -Pixmap im ASCII-Format dar:

```
P3
# feep.ppm
4 4
15
 0 0 0   0 0 0   0 0 0  15 0 15
 0 0 0   0 15 7   0 0 0   0 0 0
 0 0 0   0 0 0   0 15 7   0 0 0
15 0 15   0 0 0   0 0 0   0 0 0
```

Wie zu sehen, können auch Kommentare in ein PNM-File eingefügt werden. Zeichen ab einem # bis zum Zeilenende werden ignoriert.

Binäre Bildinformation

Deutlich kleinere Dateien, die schneller gelesen und geschrieben werden können, werden mit Hilfe der binären Bilddarstellung erreicht.

Die Pixelwerte werden dabei wie folgt abgelegt:

| Format | Magic Value | binäre Darstellung |
|--------|-------------|----------------------|
| PBM | P4 | acht Pixel pro Byte |
| PGM | P5 | ein Pixel pro Byte |
| PPM | P6 | drei Bytes pro Pixel |

Beim binären Format ist nach dem Header nur noch ein einziger White Space (typischerweise Newline) erlaubt. Innerhalb der binären Bilddaten sind keine White Spaces erlaubt. Die Bitorder innerhalb der Bytes ist "most significant bit first".

Beachtenswert ist, daß für das Binärformat nur maximale Werte bis 255 benutzt werden können.

Konvertierungsroutinen

Für die Umwandlung vom bzw. in das PNM-Format steht eine ganze Reihe von Routinen zur Verfügung, z.B.:

```
anytopnm, asciitopgm, bmtopppm, giftopnm, pbmtopgm, pgmtopbm, pgmtopppm, ppmtopgm,
pstopnm, rgb3topppm, tiffstopnm, xbmtopbm, xwdtopnm, pbmtoascii, pbmtolps, pbmtopgm,
pbmtoxbm, pgmtopbm, pgmtopppm, pnmtops, pnmtotiff, pnmtowd, ppmtobmp, ppmtogif,
ppmtopgm, ppmtorgb3.
```

10.3 Photo-CD

Die von Kodak entwickelte Photo-CD weist eine Verzeichnisstruktur auf, die zum Ansteuern eines Photo-CD-Players ausgelegt ist und außerdem von diversen Bildverarbeitungsprogrammen gelesen werden kann. Hierfür stellt Kodak eine Programmierbibliothek zur Verfügung; das Erstellen einer Photo-CD ist nur speziellen Labors vorbehalten. Typischer Preis: 16,00 DM für CD, 5,00 DM für Session, 1,20 DM pro Bild. Es können 100 Photos, ggf. in mehreren Sessions, aufgebracht werden. Da sich dadurch das Verzeichnis an verschiedenen Stellen der CD befinden kann, muß das CD-Laufwerk "multisessionfähig" sein.

Jedes Photo wird in 5 verschiedenen Auflösungen in einem (patentrechtlich geschützten) Image-Pac abgelegt.

| Bezeichnung | Auflösung | unkomprimierter Platzbedarf |
|-------------|--------------------|-----------------------------|
| Base/16 | 192×128 | 72 KBytes |
| Base/4 | 384×256 | 288 KBytes |
| Base | 768×512 | 1152 KBytes |
| Base*4 | 1536×1024 | 4608 KBytes |
| Base*16 | 3072×2048 | 18432 KBytes |

Beim Einscannen werden die RGB-Werte für jeden Bildpunkt mit 12 Bit Genauigkeit pro Farbanteil abgetastet und anschließend in das Kodak-eigene YCC-Format konvertiert (8 Bit für Helligkeit, je 8 Bit für zwei Chrominanzwerte). Durch 4:1:1 Subsampling wird die Chrominanz über je 4 Pixel gemittelt. Pro Image-Pac werden die ersten 3 Auflösungen explizit gespeichert, für Base*4 und Base*16 nur die Differenzen. Dadurch reichen etwa 4.5 MByte aus, also etwa 20 % des aufsummierten Platzbedarfs.

10.4 Auflösung

Für die Qualität eines Bildes sind die am Erstellungsprozeß beteiligten Auflösungen verantwortlich. Die Auflösung wird meistens gemessen als *Dots per Inch* (dpi).

- Scanner-Auflösung: Gegeben durch Anzahl der CCD-Elemente in einer Sensorzeile (z.B. 300 dpi).
- Scan-Auflösung: Gewählte Auflösung beim Scanner.
- Bildauflösung: Entspricht zunächst der Scan-Auflösung, kann später ggf. runtergerechnet werden (durch Mittelung) oder hochgerechnet (durch Interpolation).
- Bildschirmauflösung: Ein 17-Zoll Monitor mit Seiten-Verhältnis 4:3 hat eine Breite von $(17 \cdot 4)/5 = 13.6$ inch. Bei 1024×768 Pixeln ergibt das $1024/13.6 \approx 75$ dpi.
- Druckerauflösung: Gegeben durch die Anzahl der Druckerpunkte, die der Druckkopf nebeneinander setzen kann (z.B. 300 dpi). Da bei Tintenstrahldruckern nur 3 Grundfarben (ggf. zusätzlich Schwarz) zur Verfügung stehen, wird jedes Farbpixel durch eine Rasterzelle mit 16×16 Druckerpunkten dargestellt.
- Druckauflösung: Druckerauflösung/Rasterzellengröße, d.h. ein 400 dpi-Belichter mit 16×16 Rasterzellen kann nur $400/16 = 25$ dpi erzeugen.

Thermosublimationsdrucker lösen durch Heizelemente Farbpigmente aus einer Folie, die anschließend in ein Spezialpapier eindringen. Jedes True-Color-Pixel wird daher als ein Farbpunkt gedruckt (*Continuous Tone-Druck*). Ein 300 dpi Thermosublimationsdrucker ermöglicht daher eine 300 dpi Druckauflösung. Ein 100 ASA-Kleinbilddia, welches eine reale Auflösung von 2000 dpi in sich birgt, kann daher mit einem 300 dpi-Thermosublimationsdrucker in idealer Weise auf das $2000/300 = 6.66$ -fache vergrößert werden, welches eine Kantenlänge von $6.66 * 36 \text{ mm} = 24 \text{ cm}$ bedeutet (etwa DIN-A4). Allerdings ist der im analogen Dia enthaltene Helligkeitsumfang etwa um den Faktor 10 größer als ein Farbdruck oder Monitorbild darstellen kann.

Auflösung KB-Dia

Die Projektion eines $24 \times 36 \text{ mm}$ Kleinbilddias auf eine 1.80 m breite Leinwand stellt eine 50-fache Vergrößerung dar. Sind dann auf 1 cm Leinwand 8 Linien zu unterscheiden, entspricht das $16 \text{ dots per cm Leinwand} = 800 \text{ dots per cm Dia} \approx 2000 \text{ dpi}$.



24 x 36 mm Dia, eingescannt mit 2168 dpi, ergibt 3072 x 2048 Pixel,
skaliert auf 75 %, ergibt 2304 x 1536 Pixel
gedruckt mit 300 dpi Ink Jet, ergibt 19.5 x 13.0 cm.

10.5 LZW-Komprimierung (Lempel/Ziv/Welch, 1984)

Ein wichtiger Bestandteil des GIF-Formates (siehe nächste Sektion) ist die LZW-Komprimierung für Zeichenketten.

Starte mit Stringtabelle, gefüllt mit `characters`, und fülle sie mit Verweisen auf bereits gelesene Substrings.

```
x := get_char();
w := x;
repeat
  x := get_char();
  if wx in Tabelle
    then w := wx
  else put_string(code(w));
      trage wx in Tabelle ein
      w := x
  endif
until x = EOF
```

| w | Input | Output | String | Code |
|-----|-------|--------|--------|------|
| | | | a | 1 |
| | | | b | 2 |
| | | | c | 3 |
| | a | | | |
| a | b | 1 | ab | 4 |
| b | a | 2 | ba | 5 |
| a | b | | | |
| ab | c | 4 | abc | 6 |
| c | b | 3 | cb | 7 |
| b | a | | | |
| ba | b | 5 | bab | 8 |
| b | a | | | |
| ba | b | | | |
| bab | a | 8 | baba | 9 |
| a | a | 1 | aa | 10 |
| a | a | | | |
| aa | a | 10 | aaa | 11 |
| a | a | | | |
| aa | a | | | |
| aaa | a | 11 | aaaa | 12 |

| String Präfix- String- Index | Erwei- terungs- character | Code |
|---------------------------------------|---------------------------------|------|
| | a | 1 |
| | b | 2 |
| | c | 3 |
| 1 | b | 4 |
| 2 | a | 5 |
| 4 | c | 6 |
| 3 | b | 7 |
| 5 | b | 8 |
| 8 | a | 9 |
| 1 | a | 10 |
| 10 | a | 11 |
| 11 | a | 12 |

Implementation der
Stringtabelle

Entwicklung von Output und Tabelle für den
Input ababcbababaaaaaa

10.6 GIF

Das *Graphics Interchange Format* (GIF) wurde von CompuServe eingeführt und wird benutzt, um ggf. mehrere Bilder (Animation) in einer einzigen Datei zu speichern und zwischen verschiedenen Rechnersystemen auszutauschen. Bezogen auf die Anzahl der existierenden Dateien ist GIF eines der weitverbreitetsten Formate zum Speichern von Bilddaten.

Im Gegensatz zu vielen anderen Dateiformaten basiert GIF auf einem Strom der Daten. Das Format besteht aus einer Reihe von Datenpaketen, Blöcke genannt, kombiniert mit zusätzlicher Protokollinformation.

Das GIF-Format ist in der Lage, Bilddaten mit einer Farbtiefe von 1 bis 8 Bits zu speichern. Die Bilder werden immer im RGB-Modell unter Benutzung einer Farbtabelle gespeichert.

Bei den auf WWW-Seiten verwendeten Grafikformaten nimmt GIF den Spitzenplatz in puncto Häufigkeit ein. Insbesondere bei künstlich erzeugten Bildern mit einheitlich gefärbten Flächen ist es an Kompaktheit nicht zu schlagen.



Abbildung 10.1: Statisches GIF, Dateigröße: 2K

Zwei Kompressionsideen tragen zur Datenreduktion bei:

Farbpalette: Statt in jedem Pixel das komplette RGB-Tripel mit 3 Byte = 24 Bit Farbinformation zu speichern, werden für geeignetes p die 2^p wichtigsten Farben in der Farbpalette, gehalten und über einen p -Bit langen Index referiert. Für $p = 8$ schrumpft der Platzbedarf daher auf ein Drittel.

LZW: Das von *Lempel*, *Ziv* und *Welch* entwickelte und als Patent geschützte Verfahren zur Kompression beliebiger Zeichenfolgen basiert auf der Idee, in einer sogenannten Präfix-Tabelle die Anfangsstücke bereits gelesener Strings zu speichern und wiederholtes Auftauchen derselben Strings durch Verweise in die Tabelle zu kodieren.

Beide Ansätze zahlen sich insbesondere dann aus, wenn die Vorlage weite Bereiche mit identischer Information enthält, wie es bei computergenerierten Grafiken, wie z.B. Logos, der Fall ist. Zum einen enthält das Bild dann gar nicht die theoretisch verfügbare Zahl von $256^3 \approx 16$ Millionen Farben, sondern nur wenige Dutzend, und kann daher völlig verlustfrei durch eine Palette mit 256 Einträgen dargestellt werden. Zum anderen führen Folgen von identischen Pixelindizes zu kompakten Einträgen in der Präfixtabelle.

10.7 Erzeugung einer bildbezogenen Farbtabelle

Zunächst wird für jede Farbe die Häufigkeit ihres Auftretens ermittelt. Ggf. muß “vorquantisiert” werden von 24 Bit auf 15 Bit (je 5 Bit für Rot, Grün, Blau); hierdurch erhält das Histogramm maximal 32768 Einträge. Sei $d(a, b)$ der Abstand zweier Farbtupel a, b , z.B. $\sqrt{(a_{Rot} \Leftrightarrow b_{Rot})^2 + (a_{Gruen} \Leftrightarrow b_{Gruen})^2 + (a_{Blau} \Leftrightarrow b_{Blau})^2}$.

Optimaler Algorithmus

Gegeben sei eine Menge F von beobachteten Farben. Gesucht ist eine Menge M von Repräsentanten, so daß der Ausdruck

$$\Delta := \max_{x \in F} \min_{p \in M} d(p, x)$$

minimiert wird, d.h., Δ ist der maximale Abstand, den eine Farbe zu ihrem nächsten Repräsentanten hat.

Da die exakte Bestimmung von M eine exponentielle Laufzeit verursacht, begnügt man sich mit einer Näherungslösung.

Popularity-Algorithmus (1978)

Wähle die K häufigsten Farben.

Nachteil: Selten vorkommende Farben werden schlecht repräsentiert.

Diversity-Algorithmus (*xv*, John Bradley, 1989)

```

Initialisiere M mit der häufigsten Farbe
for i := 2 to K do
    erweitere M um die Farbe des Histogramms,
    die zu allen Farben aus M den größten Abstand hat
end

```

Median-Cut (Heckbert, MIT 1980)

```

Initialisiere RGB-Wuerfel mit Häufigkeiten der beobachteten Farbtupel
Initialisiere Wurzel des Schnittbaums mit Gesamtzahl der Pixel
While noch_nicht_genuegend_Blätter do
    Wähle Blatt mit der größten Pixelzahl
    Bestimme umschliessende Box
    Bestimme Achse mit größtem Wertebereich
    Durchlaufe Box längs dieser Achse
    Teile am Median in zwei Hälften
    Trage Hälften als Soehne ein
end
Für jedes Blatt wähle den Mittelwert aller in ihm liegenden Farben.

```

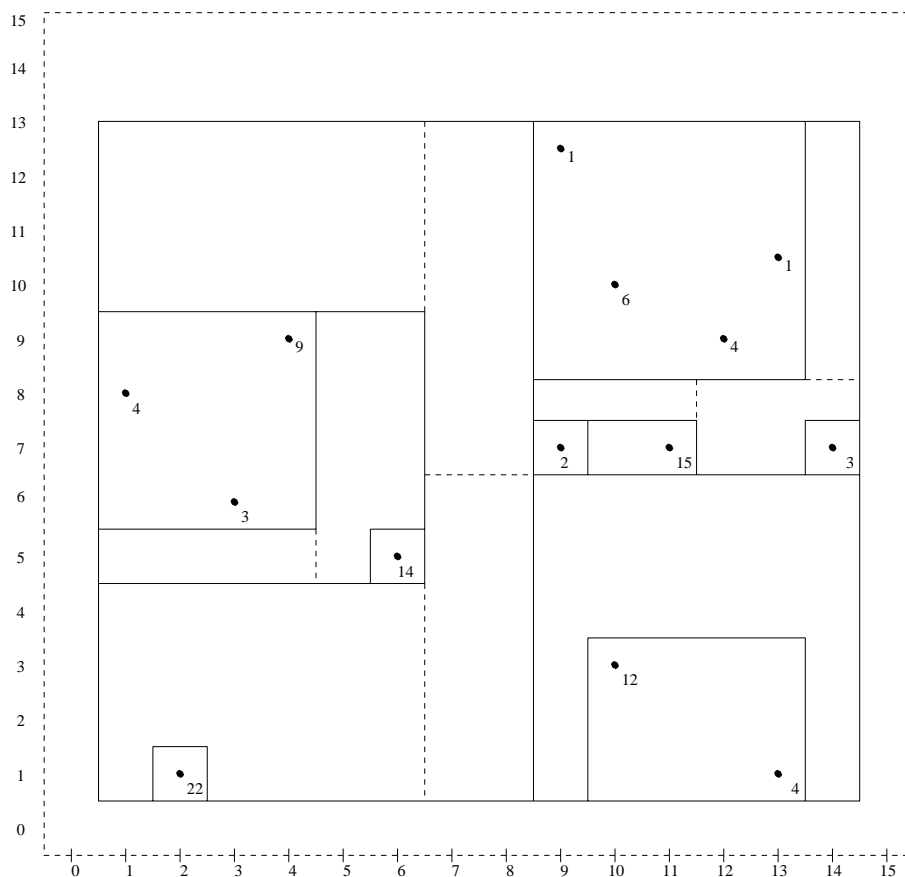


Abbildung 10.2: Partitionierung der Ebene beim Median-Cut-Algorithmus

Abbildung 10.2 zeigt die Anwendung des Median-Cut-Algorithmus anhand eines Beispiels. Zur einfachen Darstellung ist der Farbbaum zweidimensional gewählt. Gezeigt wird die Verteilung der Farbtupel aus dem Bereich $[0 \dots 15] \times [0 \dots 15]$ in einem Bild mit $10 \times 10 = 100$ Pixeln. Eingezeichnet sind an der Position x/y die Häufigkeit des Farbtupels x, y . Schnittlinien sind gestrichelt, umschließende Boxen durchgezogen gezeichnet.

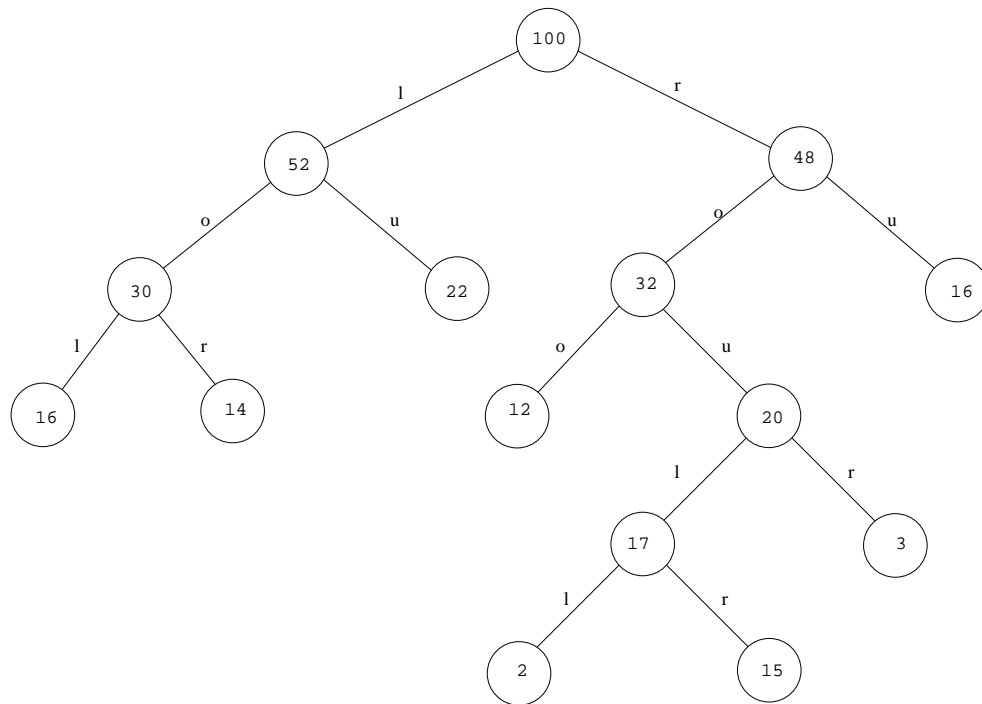


Abbildung 10.3: Schnittbaum beim Median-Cut-Algorithmus

Abbildung 10.3 zeigt für das vorliegende Beispiel den Schnittbaum nach Anwendung des Median-Cut-Algorithmus. Die Knoten sind markiert mit der Anzahl der noch zu quantisierenden Pixel, an den Kanten ist vermerkt, ob es sich um einen Links/Rechts- oder um einen Oben/Unten-Schnitt handelt.

Floyd-Steinberg-Dithering (1975)

Der bei Verwendung einer Farbtabelle verursachte Fehler beim Quantisieren eines Pixels wird auf die Nachbarpixel verteilt (bevor diese quantisiert werden).

```

for (i = 0; i < M; i++)
for (j = 0; j < N; j++)
{
    x = f[i][j];    /* hole Original-Farbe */
    k = p(x);      /* finde naechsten Repraesentant */
    q[i][j] = k;   /* zeichne quantisiertes Pixel */
    e = d(x, k);   /* bestimme Fehlerabstand */
    f [i][j + 1]   = f[i][j + 1]    + e * 3.0/8.0;
    f [i + 1][j]   = f[i + 1][j]    + e * 3.0/8.0;
    f [i + 1][j + 1] = f[i + 1][j + 1] + e * 1.0/4.0;
}

```

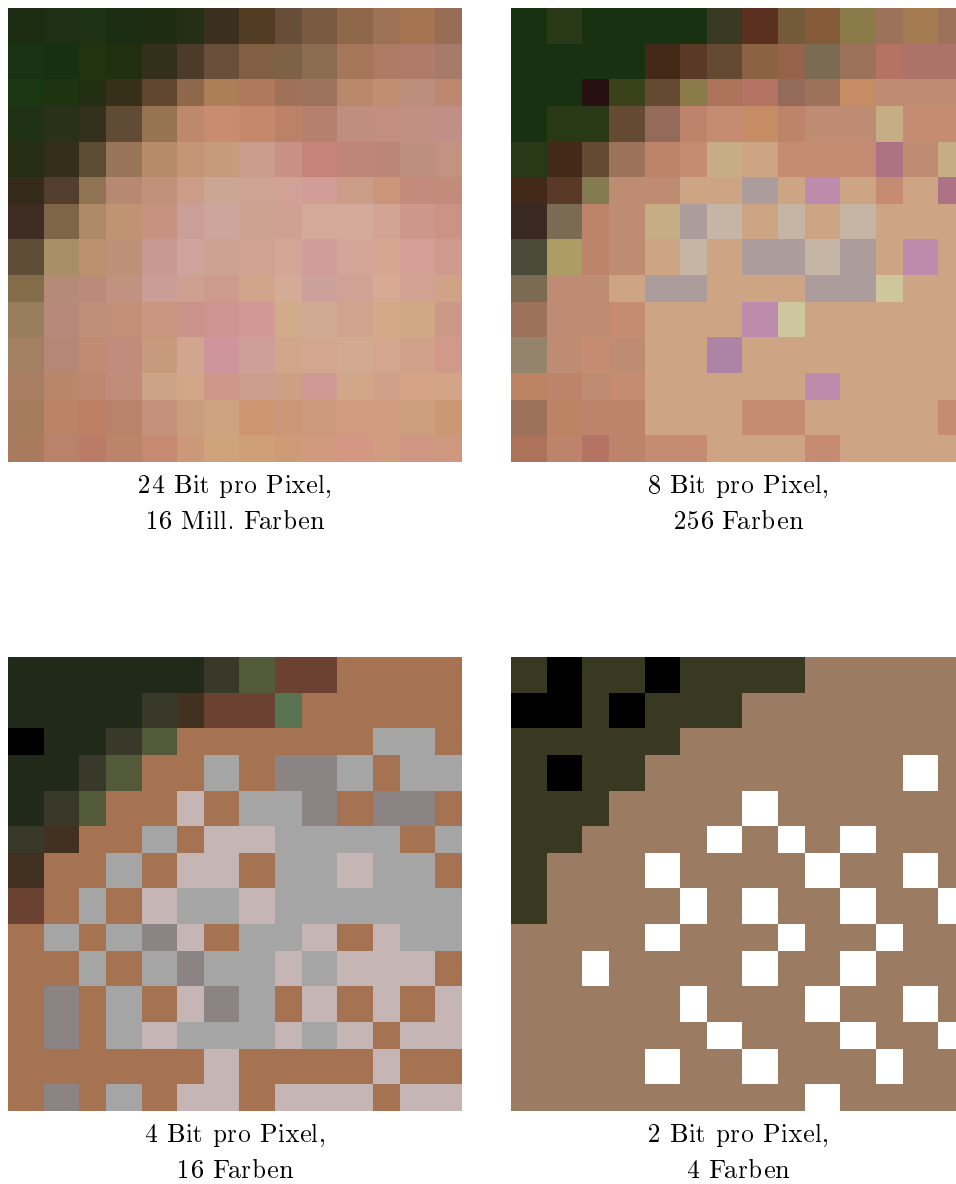


Abbildung 10.4: Auswirkung des Median-Cut-Algorithmus

Abbildung 10.4 zeigt Original und quantisierte Versionen einer 14×14 Ausschnittvergrößerung, erstellt von einem 814×517 True-Color-Bild. Die Zahl der Farben bezieht sich jeweils auf das Gesamtbild. Verwendet wurde der Median-Cut-Algorithmus mit anschließendem Floyd-Steinberg-Dithering.

10.8 Kompression nach JPEG

Die **J**oint **P**hotographic **E**xpert **G**roup bildete sich aus Mitgliedern der Standardisierungsgremien CCITT (Consultative Committee for International Telephone and Telegraph) und ISO (International Standardization Organization). JPEG wurde schließlich zum Namen für den Standard selbst.

Zunächst wird das RGB-Bild in den YUV-Raum transformiert. Da das Auge für Helligkeitssprünge sensitiver ist als für Farbdifferenzen, kann man nun die Y-Matrix in der vollen Auflösung belassen und in den U, V-Matrizen jeweils 4 Pixel mitteln (4:1:1 Subsampling).

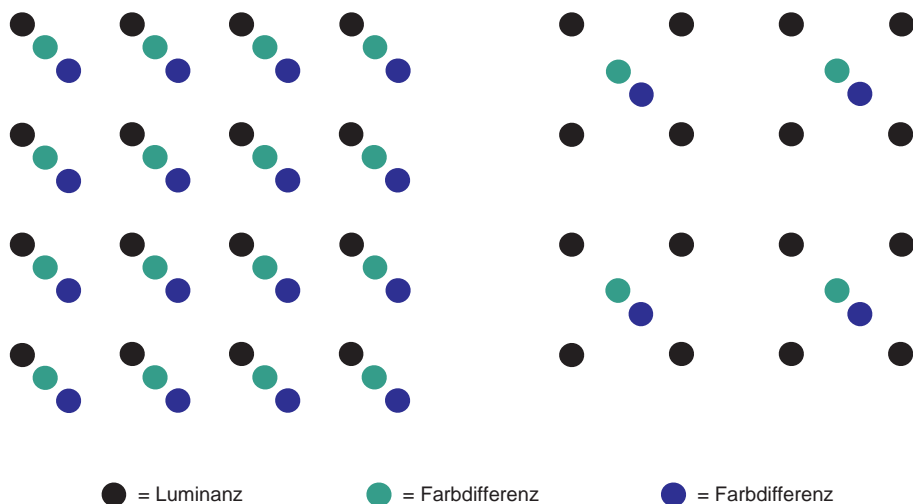


Abbildung 10.5: 4:1:1 Subsampling

Für je 4 Originalpixel mit insgesamt 12 Bytes werden nun $4 + 1 + 1 = 6$ Bytes benötigt (pro Bildpunkt also $6 \cdot 8/4 = 12$ Bit). Die Reduktion beträgt 50 %.

Beim JPEG-Verfahren werden nun die drei Matrizen in Blöcke mit 8×8 Abtastwerten aufgeteilt. Anschließend durchlaufen die Blöcke folgende Schritte:

1. Diskrete Cosinus Transformation
2. Rundung der Frequenzkoeffizienten
3. Lauflängenkodierung der quantisierten Werte
4. Huffmancodierung der Lauflängenbeschreibung.

Um aus dem komprimierten Bild das Original zu rekonstruieren, werden die Schritte in umgekehrter Reihenfolge und inverser Funktionalität durchlaufen.

Durch die Wahl der Rundungstabelle läßt sich der Tradeoff zwischen Qualität und Kompression beliebig steuern. Ein typisches Farbbild läßt sich ohne für das Auge sichtbare Artefakte auf 10 % seiner Originalgröße reduzieren. Eine Reduktion auf 5 % verursacht oft nur leichte, kaum wahrnehmbare Verzerrungen.

DCT (Diskrete Cosinus Transformation)

Die diskrete Cosinus-Transformation ist ein Spezialfall der Fouriertransformation. Es wird ausgenutzt, daß für "gerade" Funktionen (d.h. $f(\Leftrightarrow x) = f(x)$) der Sinus-Term mit seinem imaginären Anteil wegfällt. Ein zweidimensionaler Bildbereich läßt sich durch Spiegelung an der y -Achse künstlich gerade machen.

$$s[u, v] := \frac{1}{4} \cdot c_u \cdot c_v \cdot \sum_{x=0}^7 \sum_{y=0}^7 f[x, y] \cdot \cos \frac{(2x+1) \cdot u \cdot \pi}{16} \cdot \cos \frac{(2y+1) \cdot v \cdot \pi}{16}$$

$$c_u, c_v := \begin{cases} \frac{1}{\sqrt{2}} & \text{für } u, v = 0 \\ 1 & \text{sonst} \end{cases}$$

Hierdurch wird eine 8×8 Ortsmatrix in eine 8×8 Frequenzmatrix transformiert.

Mit Hilfe der inversen DCT lassen sich die Originalwerte rekonstruieren.

$$f[x, y] := \frac{1}{4} \sum_{u=0}^7 \sum_{v=0}^7 c_u \cdot c_v \cdot s[u, v] \cdot \cos \frac{(2x+1) \cdot u \cdot \pi}{16} \cdot \cos \frac{(2y+1) \cdot v \cdot \pi}{16}$$

Für die Bildverarbeitung wird der Pixelwertebereich 0..255 in das symmetrische Intervall $\Leftrightarrow 128..127$ verschoben. Der Wertebereich von s liegt dann im Intervall $\Leftrightarrow 1024..+1023$. Der errechnete Koeffizient s_{00} entspricht dem Anteil der Frequenz null in beiden Achsen und wird *DC*-Koeffizient (Gleichspannungsanteil) bezeichnet. Die übrigen Koeffizienten werden *AC*-Koeffizienten (Wechselspannungsanteil) genannt. Z.B. bezeichnet s_{77} die höchste, in beiden Richtungen auftretende Frequenz.

Die Eingangsmatrix M läßt sich auch durch $T \cdot M \cdot T'$ transformieren mit Hilfe der Matrix T :

| | | | | | | | |
|----------|-----------|-----------|-----------|-----------|-----------|-----------|-----------|
| 0.353553 | 0.353553 | 0.353553 | 0.353553 | 0.353553 | 0.353553 | 0.353553 | 0.353553 |
| 0.490393 | 0.415735 | 0.277785 | 0.097545 | -0.097545 | -0.277785 | -0.415735 | -0.490393 |
| 0.461940 | 0.191342 | -0.191342 | -0.461940 | -0.461940 | -0.191342 | 0.191342 | 0.461940 |
| 0.415735 | -0.097545 | -0.490393 | -0.277785 | 0.277785 | 0.490393 | 0.097545 | -0.415735 |
| 0.353553 | -0.353553 | -0.353553 | 0.353553 | 0.353553 | -0.353553 | -0.353553 | 0.353553 |
| 0.277785 | -0.490393 | 0.097545 | 0.415735 | -0.415735 | -0.097545 | 0.490393 | -0.277785 |
| 0.191342 | -0.461940 | 0.461940 | -0.191342 | -0.191342 | 0.461940 | -0.461940 | 0.191342 |
| 0.097545 | -0.277785 | 0.415735 | -0.490393 | 0.490393 | -0.415735 | 0.277785 | -0.097545 |

Quantisierung

Die errechnete Matrix hat von links oben nach rechts unten Werte abnehmender Größe. Da die Werte rechts unten den hohen, eher unwichtigen Frequenzen entsprechen, werden alle Einträge mit Faktoren zunehmender Größe dividiert.

$$r[u, v] := \frac{s[u, v]}{q[u, v]}$$

| | | | | | | | |
|-----|-----|-----|-----|-----|-----|-----|-----|
| 95 | 88 | 87 | 95 | 88 | 95 | 95 | 95 |
| 143 | 144 | 151 | 151 | 153 | 170 | 183 | 181 |
| 153 | 151 | 162 | 166 | 162 | 151 | 126 | 117 |
| 143 | 144 | 133 | 130 | 143 | 153 | 159 | 175 |
| 123 | 112 | 116 | 130 | 143 | 147 | 162 | 189 |
| 133 | 151 | 162 | 166 | 170 | 188 | 166 | 128 |
| 160 | 168 | 166 | 159 | 135 | 101 | 93 | 98 |
| 154 | 155 | 153 | 144 | 126 | 106 | 118 | 133 |

Bildmatrix

↓

| | | | | | | | |
|-----|-----|-----|-----|-----|----|----|----|
| 93 | 2 | -8 | -7 | 3 | 1 | 1 | -2 |
| -38 | -58 | 11 | 17 | -3 | 5 | 5 | -3 |
| -84 | 63 | -1 | -17 | 2 | 7 | -4 | -0 |
| -51 | -37 | -10 | 13 | -10 | 5 | -1 | -4 |
| -85 | -42 | 50 | -8 | 18 | -5 | -1 | 1 |
| -63 | 66 | -13 | -1 | 2 | -6 | -2 | -2 |
| -16 | 14 | -37 | 18 | -12 | 4 | 3 | -3 |
| -53 | 31 | -7 | -10 | 23 | -0 | 2 | 2 |

DCT-Koeffizienten

| | | | | | | | |
|-----|-----|-----|-----|-----|-----|-----|-----|
| 98 | 95 | 91 | 89 | 90 | 95 | 101 | 106 |
| 140 | 143 | 149 | 156 | 163 | 167 | 168 | 167 |
| 146 | 149 | 154 | 159 | 159 | 151 | 137 | 126 |
| 149 | 142 | 136 | 137 | 145 | 156 | 163 | 166 |
| 119 | 117 | 118 | 125 | 140 | 157 | 170 | 176 |
| 137 | 147 | 160 | 170 | 172 | 166 | 157 | 150 |
| 166 | 167 | 164 | 152 | 132 | 112 | 99 | 93 |
| 151 | 153 | 150 | 139 | 125 | 118 | 119 | 123 |

rekonstruierte Bildmatrix

↑

→

| | | | | | | | |
|-----|----|----|----|---|---|---|---|
| 31 | 0 | -1 | 0 | 0 | 0 | 0 | 0 |
| -7 | -8 | 1 | 1 | 0 | 0 | 0 | 0 |
| -12 | 7 | 0 | -1 | 0 | 0 | 0 | 0 |
| -5 | -3 | 0 | 0 | 0 | 0 | 0 | 0 |
| -7 | -3 | 3 | 0 | 0 | 0 | 0 | 0 |
| -4 | 4 | 0 | 0 | 0 | 0 | 0 | 0 |
| -1 | 0 | -1 | 0 | 0 | 0 | 0 | 0 |
| -3 | 1 | 0 | 0 | 0 | 0 | 0 | 0 |

quantisierte DCT-Koeffizienten

| | | | | | | | |
|----|----|----|----|----|----|----|----|
| 3 | 5 | 7 | 9 | 11 | 13 | 15 | 17 |
| 5 | 7 | 9 | 11 | 13 | 15 | 17 | 19 |
| 7 | 9 | 11 | 13 | 15 | 17 | 19 | 21 |
| 9 | 11 | 13 | 15 | 17 | 19 | 21 | 23 |
| 11 | 13 | 15 | 17 | 19 | 21 | 23 | 25 |
| 13 | 15 | 17 | 19 | 21 | 23 | 25 | 27 |
| 15 | 17 | 19 | 21 | 23 | 25 | 27 | 29 |
| 17 | 19 | 21 | 23 | 25 | 27 | 29 | 31 |

Quantisierungsmatrix

Entropiekodierung

Die DC -Koeffizienten benachbarter Blöcke unterscheiden sich nur wenig und werden daher als Differenz zum Vorgängerblock übertragen.

Die AC -Koeffizienten werden zunächst in eine Zick-Zack-Sequenz umgeordnet:

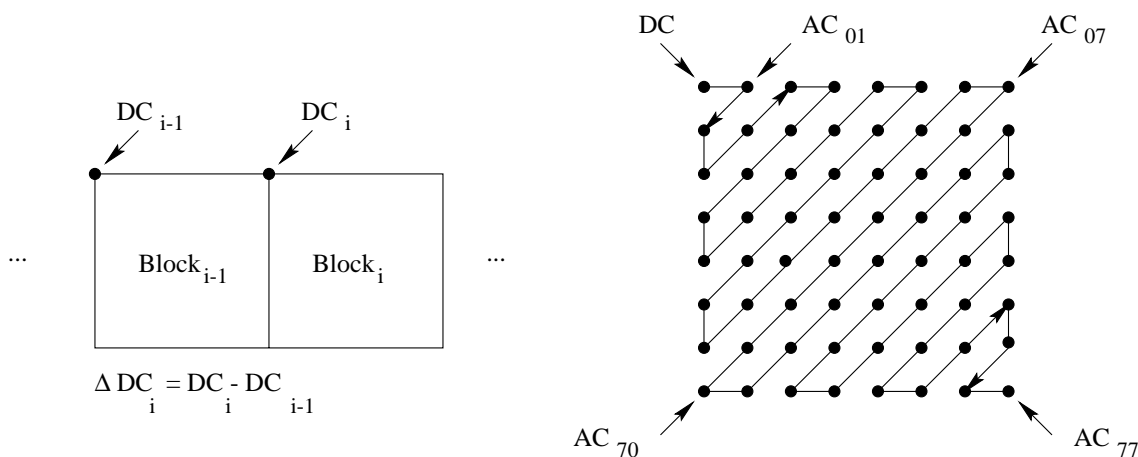


Abbildung 10.6: Durchlaufsequenz pro Macroblock

Die AC -Koeffizienten längs dieses Weges bis zum letzten Eintrag ungleich Null werden als Folge von Paaren beschrieben:

- Symbol 1: Länge der ununterbrochenen Folge von Nullen vor diesem Wert (Runlength)
Anzahl der Bits, die zur Darstellung des Wertes erforderlich sind.
- Symbol 2: der Wert selbst

Der quantisierte DCT-Koeffizient AC_{70} aus vorigem Beispiel wird beschrieben als Tupel $\langle (11, 2), \Leftrightarrow 3 \rangle$, denn vor ihm in der Zickzacksequenz stehen 11 Nullen, sein Wert kann mit 2 Bit codiert werden, und sein Wert beträgt $\Leftrightarrow 3$.

Für das Symbol 1 gibt es Häufigkeitsverteilungen, aus denen sich ein Huffman-Code konstruieren läßt. Für das Symbol 2 wählt man ein 2-er Komplement, welches berücksichtigt, daß bei angekündigten N Bits nur solche Zahlen kodiert werden müssen, für die $N \Leftrightarrow 1$ Bits nicht ausreichen.

| Länge/Bitzahl | Codierung |
|---------------|------------------|
| 0/0 (EOB) | 1010 |
| 0/1 | 00 |
| 0/2 | 01 |
| 0/3 | 100 |
| 0/4 | 1011 |
| 0/5 | 11010 |
| 0/6 | 1111000 |
| 0/7 | 11111000 |
| 0/8 | 1111110110 |
| 0/9 | 111111110000010 |
| 0/10 | 1111111110000011 |
| 1/1 | 1100 |
| 1/2 | 11011 |
| 1/3 | 111001 |
| ⋮ | ⋮ |
| 2/1 | 11100 |
| 2/2 | 1111001 |
| 2/3 | 111110111 |
| ⋮ | ⋮ |
| 3/1 | 111010 |
| 3/2 | 111110111 |
| 3/3 | 11111110101 |
| ⋮ | ⋮ |
| 11/1 | 1111111001 |
| 11/2 | 111111111010000 |
| ⋮ | ⋮ |
| 15/10 | 1111111111111110 |

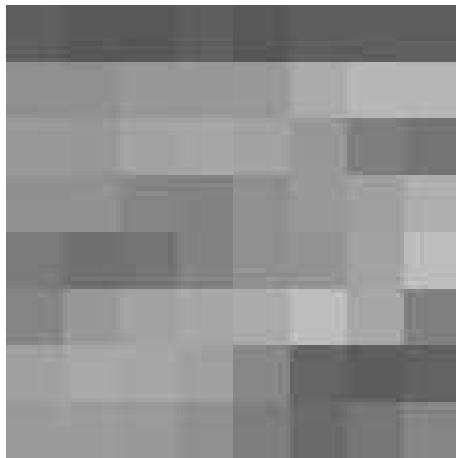
Huffman Codierung
für Symbol 1

| Wert | Codierung |
|------|-----------|
| 15 | 1111 |
| 14 | 1110 |
| 13 | 1101 |
| 12 | 1100 |
| 11 | 1011 |
| 10 | 1010 |
| 9 | 1001 |
| 8 | 1000 |
| 7 | 111 |
| 6 | 110 |
| 5 | 101 |
| 4 | 100 |
| 3 | 11 |
| 2 | 01 |
| 1 | 1 |
| -1 | 0 |
| -2 | 10 |
| -3 | 00 |
| -4 | 011 |
| -5 | 010 |
| -6 | 001 |
| -7 | 000 |
| -8 | 0111 |
| -9 | 0110 |
| -10 | 0101 |
| -11 | 0100 |
| -12 | 0011 |
| -13 | 0010 |
| -14 | 0001 |
| -15 | 0000 |

Komplement-Codierung
für Symbol 2

| Symbol 1 | Symbol 2 | Huffman für Symbol 1 | 2-er Komplement für Symbol 2 |
|----------|----------|-------------------------|---------------------------------|
| (1, 3) | -7 | 1111001 | 000 |
| (0, 4) | -12 | 1011 | 0011 |
| (0, 4) | -8 | 1011 | 0111 |
| (0, 1) | -1 | 00 | 0 |
| (1, 1) | 1 | 1100 | 1 |
| (0, 3) | 7 | 100 | 111 |
| (0, 3) | -5 | 100 | 010 |
| (0, 3) | -7 | 100 | 000 |
| (0, 2) | -3 | 01 | 00 |
| (1, 1) | 1 | 1100 | 1 |
| (3, 1) | -1 | 111010 | 0 |
| (1, 2) | -3 | 11011 | 00 |
| (0, 3) | -4 | 100 | 011 |
| (0, 1) | -1 | 00 | 0 |
| (0, 3) | 4 | 100 | 100 |
| (0, 2) | 3 | 01 | 11 |
| (11, 2) | -3 | 1111111111010000 | 00 |
| (0, 1) | 1 | 00 | 1 |
| (0, 1) | -1 | 00 | 0 |
| EOB | | 1010 | |

Symbole und ihre Kodierung für die im Beispiel vorgestellten
quantisierten *AC*-Koeffizienten



Ausgangsbildmatrix



rekonstruierte Bildmatrix

Abbildung 10.7: 8 x 8 Matrix vor und nach der JPEG-Kompression.

| | | | | | | | |
|-----|-----|-----|-----|-----|-----|-----|-----|
| 95 | 88 | 87 | 95 | 88 | 95 | 95 | 95 |
| 143 | 144 | 151 | 151 | 153 | 170 | 183 | 181 |
| 153 | 151 | 162 | 166 | 162 | 151 | 126 | 117 |
| 143 | 144 | 133 | 130 | 143 | 153 | 159 | 175 |
| 123 | 112 | 116 | 130 | 143 | 147 | 162 | 189 |
| 133 | 151 | 162 | 166 | 170 | 188 | 166 | 128 |
| 160 | 168 | 166 | 159 | 135 | 101 | 93 | 98 |
| 154 | 155 | 153 | 144 | 126 | 106 | 118 | 133 |

Dezimaldarstellung der Bildbereich-Matrix

| | | | | | | | |
|----------|----------|----------|----------|----------|----------|----------|----------|
| 01011111 | 01011000 | 01010111 | 01011111 | 01011000 | 01011111 | 01011111 | 01011111 |
| 10001111 | 10010000 | 10010111 | 10010111 | 10011001 | 10101010 | 10110111 | 10110101 |
| 10011001 | 10010111 | 10100010 | 10100110 | 10100010 | 10010111 | 01111110 | 01110101 |
| 10001111 | 10010000 | 10000101 | 10000010 | 10001111 | 10011001 | 10011111 | 10101111 |
| 01111011 | 01110000 | 01110100 | 10000010 | 10001111 | 10010011 | 10100010 | 10111101 |
| 10000101 | 10010111 | 10100010 | 10100110 | 10101010 | 10111100 | 10100110 | 10000000 |
| 10100000 | 10101000 | 10100110 | 10011111 | 10000111 | 01100101 | 01011101 | 01100010 |
| 10011010 | 10011011 | 10011001 | 10010000 | 01111110 | 01101010 | 01110110 | 10000101 |

8-Bit-Codierung für Bildbereich-Matrix

00011111

quantisierter DC-Koeffizient

1111001000101100111011011100011001100111100010100000010011001
 11101001101100100011000100100011111111111101000000010001010

Huffman-Codierung für quantisierte AC-Koeffizienten



motel.tif
100%



motel80.jpg
9%



motel40.jpg
5%



motel20.jpg
4%

Abbildung 10.8: Kompression nach JPEG. Platzbedarf in Prozent bezogen auf tif-Datei



motel10.jpg
3%



motel05.jpg
2%



motel02.jpg
1.5%



motel01.jpg
1%

Abbildung 10.9: Kompression nach JPEG. Platzbedarf in Prozent bezogen auf tif-Datei

Kapitel 11

3D-Grundlagen

Für 3-dimensionale Objekte gibt es mehrere Möglichkeiten der Repräsentation (d.h. Definition des Objekts) und der Darstellung (d.h. Projektion des Objekts auf den Bildschirm).

11.1 Repräsentation und Darstellung

Repräsentation

- Elementarobjekt mit Definitionspunkten,
- Drahtmodell mit Kantenliste,
- Flächenmodell mit Flächenliste,
- Flächenmodell mit Halbkantendarstellung,
- CSG (constructive solid geometry) mit mengentheoretischer Verknüpfung von Elementarobjekten.

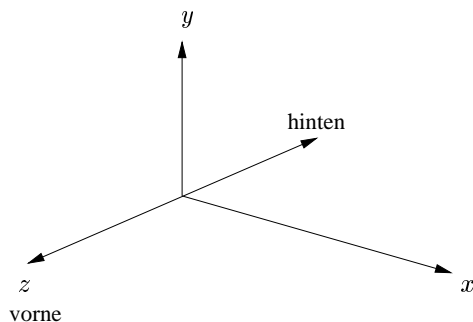
Darstellung

- Drahtmodell mit sämtlichen Kanten,
- Drahtmodell mit Entfernung verdeckter Kanten,
- Flächenmodell mit Schattierung, ohne abgewandte Flächen,
- Flächenmodell mit Berechnung von Lichtreflektion, ohne verdeckte Teile von Flächen,
- Körpermodell mit Berechnung von Schattenbildung, Spiegelungen und Brechungen.

11.2 3D-Koordinatensystem

Weit verbreitet ist das kartesische Koordinaten-System, z.B. in der rechtshändigen Form.

Bei gespreizten Fingern der rechten Hand zeigt der Zeigefinger in x -Richtung, der Mittelfinger in y -Richtung, der Daumen in z -Richtung.



11.3 Länge und Kreuzprodukt

Gegeben sei ein 3D-Vektor

$$v = \begin{pmatrix} v_1 \\ v_2 \\ v_3 \end{pmatrix}$$

Seine **Länge** ist definiert als

$$|v| := \sqrt{v_1^2 + v_2^2 + v_3^2}$$

Gegeben seien zwei 3D-Vektoren

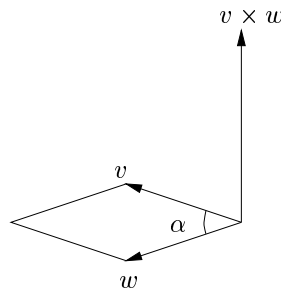
$$v = \begin{pmatrix} v_1 \\ v_2 \\ v_3 \end{pmatrix} \quad \text{und} \quad w = \begin{pmatrix} w_1 \\ w_2 \\ w_3 \end{pmatrix}$$

Das **Kreuzprodukt** von v und w ist definiert als

$$v \times w = \begin{pmatrix} v_2 \cdot w_3 \Leftrightarrow v_3 \cdot w_2 \\ v_3 \cdot w_1 \Leftrightarrow v_1 \cdot w_3 \\ v_1 \cdot w_2 \Leftrightarrow v_2 \cdot w_1 \end{pmatrix}$$

Der Vektor $v \times w$ steht senkrecht auf v und steht senkrecht auf w . Seine Länge entspricht der Fläche des durch v und w aufgespannten Parallelogramms, d.h.

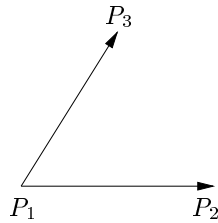
$$|v \times w| = |v| \cdot |w| \cdot \sin(\alpha)$$



In einem rechtshändigen Koordinatensystem entspricht bei gespreizten Fingern der Zeigefinger v , der Mittelfinger w , der Daumen $v \times w$.

Anwendung des Kreuzprodukts

Gegeben sei eine Fläche durch 3 nicht kollineare Punkte P_1, P_2, P_3 .



Der Vektor $(P_2 \Leftrightarrow P_1) \times (P_3 \Leftrightarrow P_1)$ bildet den Normalenvektor zur Fläche.

Ist eine Ebene durch ihre Ebenengleichung $Ax + By + Cz + D = 0$ gegeben, so ergibt sich der Normalenvektor als (A, B, C) .

Ist ein Normalenvektor (A, B, C) gegeben, so errechnet sich D durch Einsetzen eines beliebigen Punktes der Ebene.

Ein Punkt (x, y, z) liegt

| | | |
|----------------------|-------|------------------------|
| oberhalb der Ebene, | falls | $Ax + By + Cz + D > 0$ |
| unterhalb der Ebene, | falls | $Ax + By + Cz + D < 0$ |
| in der Ebene, | falls | $Ax + By + Cz + D = 0$ |

11.4 Skalarprodukt

Gegeben seien zwei n -dimensionale Vektoren v, w .

Das **Skalarprodukt** lautet:

$$v \cdot w := \sum_{i=1}^n v_i \cdot w_i$$

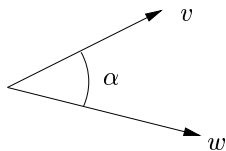
Für Vektoren a, b, c und $s \in \mathbb{R}$ gilt:

$$\begin{aligned} a \cdot b &= b \cdot a && \text{(Symmetrie)} \\ (a + c) \cdot b &= a \cdot b + c \cdot b && \text{(Linearität)} \\ (sa) \cdot b &= s(a \cdot b) && \text{(Homogenität)} \\ |b| &= \sqrt{b \cdot b} && \text{(euklidische Norm)} \end{aligned}$$

Anwendungen des Skalarprodukts:

Gegeben zwei Vektoren v, w . Für den Winkel α zwischen v und w gilt:

$$\cos(\alpha) = \frac{v \cdot w}{|v| \cdot |w|}.$$



$$\begin{aligned} \text{Es gilt: } v \cdot w < 0 &\Leftrightarrow v \text{ und } w \text{ sind mehr als } 90^\circ \text{ auseinander} \\ v \cdot w = 0 &\Leftrightarrow v \text{ steht senkrecht auf } w \\ v \cdot w > 0 &\Leftrightarrow v \text{ und } w \text{ sind weniger als } 90^\circ \text{ auseinander} \end{aligned}$$

Es gilt: $n \cdot r = D$ beschreibt eine Ebene für $D \in \mathbb{R}$ und Normalenvektor n . Alle Lösungsvektoren r liegen (als Punkte aufgefaßt) auf der Ebene. Das Skalarprodukt aller Ebenenpunkte (als Vektoren geschrieben) mit dem Normalenvektor ist konstant.

11.5 Matrixinversion

Analog zum zweidimensionalen Fall werden die dreidimensionalen Transformationen durch Verknüpfung homogener Koordinaten mit 4×4 -Transformationsmatrizen dargestellt.

Sei $A = (a_{ik})$, $1 \leq i, k \leq 4$, eine 4×4 -Matrix:

$$A = \begin{pmatrix} a_{11} & a_{12} & a_{13} & a_{14} \\ a_{21} & a_{22} & a_{23} & a_{24} \\ a_{31} & a_{32} & a_{33} & a_{34} \\ a_{41} & a_{42} & a_{43} & a_{44} \end{pmatrix}$$

Ist $D = \det A = |a_{ik}|$ die *Determinante* von A , so bezeichnet man als *Unterdeterminante* des Elementes a_{ik} diejenige 3-reihige Determinante, die aus D durch Streichen der i -ten Zeile und der k -ten Spalte hervorgeht. Unter der *Adjunkten* A_{ik} des Elementes a_{ik} versteht man die mit dem Faktor $(\Leftrightarrow 1)^{i+k}$ versehene Unterdeterminante von a_{ik} .

Beispiel:

$$A_{23} = \Leftrightarrow \begin{vmatrix} a_{11} & a_{12} & a_{14} \\ a_{31} & a_{32} & a_{34} \\ a_{41} & a_{42} & a_{44} \end{vmatrix} = \Leftrightarrow [a_{11}(a_{32}a_{44} \Leftrightarrow a_{34}a_{42}) \Leftrightarrow a_{12}(a_{31}a_{44} \Leftrightarrow a_{34}a_{41}) + a_{14}(a_{31}a_{42} \Leftrightarrow a_{32}a_{41})]$$

Die Adjunkten sind nützlich zur Berechnung der Determinanten von A sowie der *inversen Matrix* A^{-1} :

$$\det A = \sum_{k=1}^4 a_{1k} A_{1k} \quad A^{-1} = \frac{1}{\det A} \begin{pmatrix} A_{11} & A_{21} & A_{31} & A_{41} \\ A_{12} & A_{22} & A_{32} & A_{42} \\ A_{13} & A_{23} & A_{33} & A_{43} \\ A_{14} & A_{24} & A_{34} & A_{44} \end{pmatrix}$$

Kapitel 12

3D-Repräsentation

Die Repräsentation dreidimensionaler Objekte in der Computergrafik teilt sich in verschiedene Repräsentationsklassen, die hierarchisch aufgebaut sind.

12.1 Elementarobjekte

Für den Benutzer sollte die Beschreibung einer Szene durch *Elementarobjekte* erfolgen. Diese können unterschiedlich kompliziert sein, sollten aber durch wenige Parameter beschrieben werden können. Eine Kugel z.B. ist bereits durch Mittelpunkt und Radius eindeutig im Raum platziert. Es ist sinnvoll, jedes Objekt in seinem eigenen, lokalen Modellkoordinatensystem zu definieren. Dessen Ursprung wird im Inneren des Objekts gewählt und das gesamte Objekt in ein Einheitsvolumen (z.B. $\Leftrightarrow 1 \leq x, y, z \leq +1$) eingeschlossen. Für Orts- und Größenveränderungen sind Transformationen zuständig.

12.2 Drahtmodell

In der nächsten Repräsentationsklasse wird das Elementarobjekt als *Drahtmodell* durch eine Liste von Kanten repräsentiert. Jede Kante besteht aus zwei Punkten im kartesischen Koordinatensystem.

Beim Würfel verbinden die Kanten die Eckpunkte, bei einer Kugel werden die Längen- und Breitenkreise durch n -Ecke angenähert, wobei mit n die Güte der Approximation steigt. Das Drahtmodell skizziert nur die Umrisse eines Objekts und enthält keine zusätzlichen Flächen- oder Volumeninformationen.

12.3 Flächenmodell

Beim *Flächenmodell* werden Objekte durch approximierte oder analytische Flächen, z.B. durch eine Liste von konvexen Polygonen, repräsentiert. Ein solches Polygon wird durch seine Eckpunkte beschrieben, die durch Kanten verbunden sind.

| Punktliste | Kantenliste | Flächenliste |
|-------------------------|------------------|-----------------------|
| $P_1 : (x_1, y_1, z_1)$ | $k_1 : P_1, P_2$ | $F_1 : k_1, k_2, k_3$ |
| $P_2 : (x_2, y_2, z_2)$ | $k_2 : P_2, P_3$ | $F_2 : k_1, k_6, k_4$ |
| $P_3 : (x_3, y_3, z_3)$ | $k_3 : P_3, P_1$ | $F_3 : k_2, k_6, k_5$ |
| $P_4 : (x_4, y_4, z_4)$ | $k_4 : P_1, P_4$ | $F_4 : k_3, k_4, k_5$ |
| | $k_5 : P_4, P_3$ | |
| | $k_6 : P_4, P_2$ | |

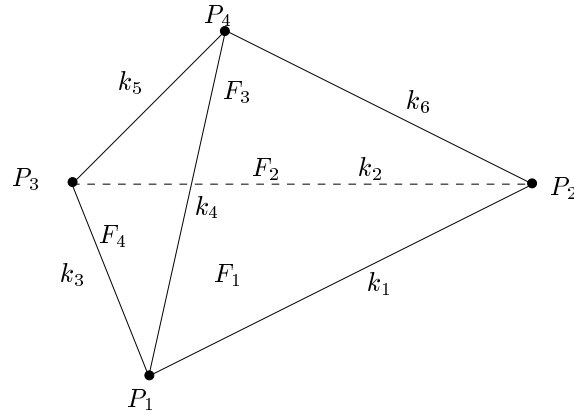


Abbildung 12.1: Tetraeder als Flächenmodell

Zur vollständigen Beschreibung einer Fläche gehört noch die Angabe, welche Seite “innen” und welche Seite “außen” liegt. Dies geschieht durch Angabe des Normalenvektors: Er steht senkrecht auf der Fläche und zeigt von innen nach außen. Für die Approximation gekrümmter Flächen wird häufig pro Eckpunkt eine Normale verwendet.

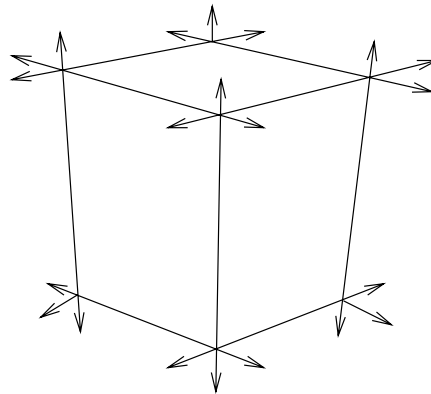


Abbildung 12.2: Würfel mit Normalenvektoren

12.4 CSG (constructive solid geometry)

Jedes Objekt wird beschrieben durch einen binären Baum, dessen Blätter beschriftet sind mit Elementarobjekten und dessen innere Knoten beschriftet sind mit den Mengenoperationen \cup (Vereinigung), \cap (Durchschnitt), \setminus (Differenz).

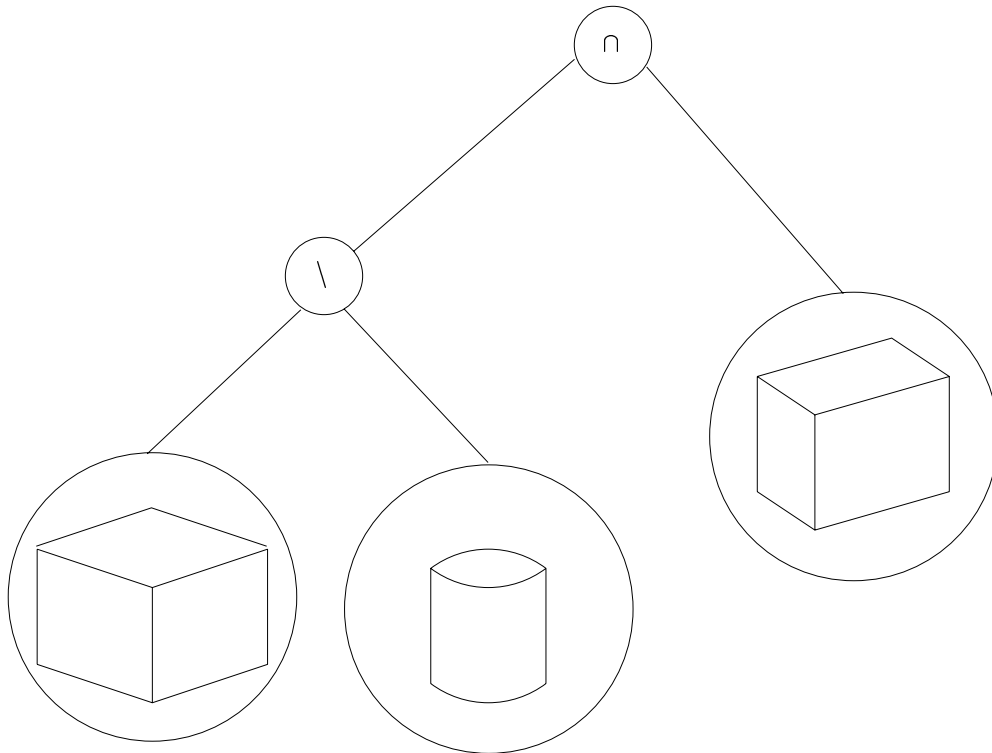


Abbildung 12.3: CSG-Repräsentation eines Körpers

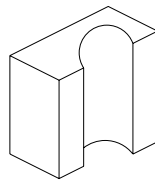


Abbildung 12.4: Darstellung des resultierenden Körpers

12.5 Flächenmodell mit Halbkantendarstellung

Jedes Objekt enthält eine Liste von Flächen, die von Halbkanten begrenzt werden. Die Halbkanten sind von außen betrachtet im Uhrzeigersinn orientiert und zeigen auf ihre jeweils linke Nachbarfläche sowie ihre Anfangs- und Endpunkte.

Die Halbkantendarstellung eignet sich zur effizienten Entfernung von verdeckten Kanten und Flächen. Eine Kante zwischen Punkt P_1 und Punkt P_2 , welche die Flächen F_1 und F_2 trennt, taucht einmal als Halbkante (P_1, P_2) in der Kantenliste zu F_2 auf mit einem Verweis auf die Nachbarfläche F_1 und ein weiteres Mal als (P_2, P_1) in der Kantenliste zu F_1 mit einem Verweis auf die Nachbarfläche F_2 . Werden nun alle Halbkanten einer Fläche F_1 bearbeitet, so regelt die Sichtbarkeit von F_1 und die Sichtbarkeit der jeweils anstoßenden Fläche die Sichtbarkeit der jeweiligen Halbkante. Das doppelte Zeichnen einer Kante läßt sich vermeiden, indem bei jeder Fläche vermerkt wird, ob ihre Halbkanten bereits bearbeitet wurden.

Auch die Flächennormalen können in der Datenstruktur gespeichert werden.

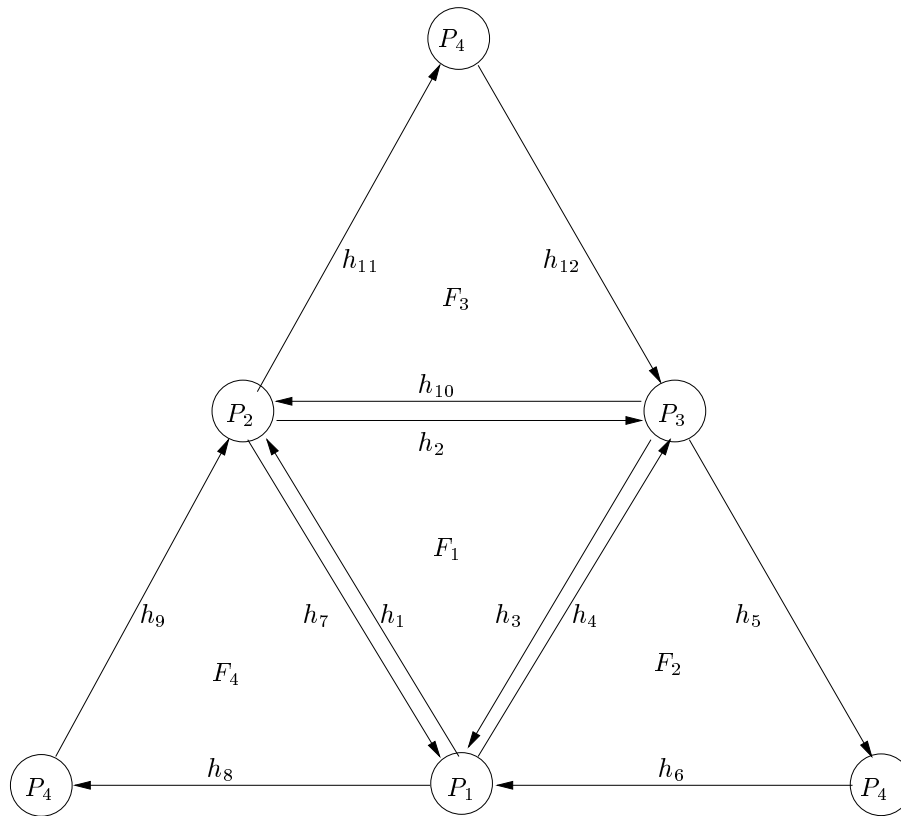


Abbildung 12.5: Tetraeder mit 4 Knoten, 12 Halbkanten, 4 Flächen

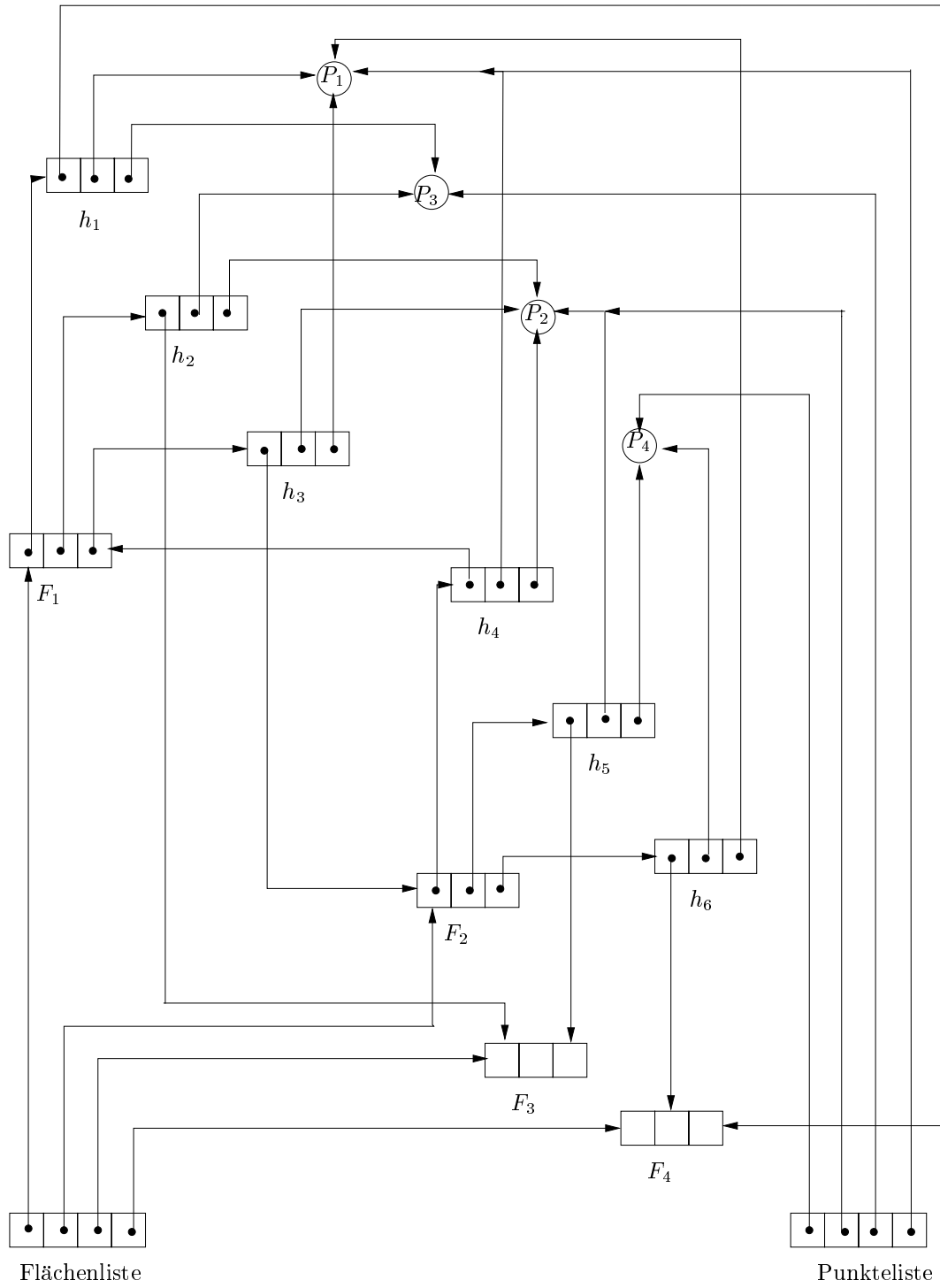


Abbildung 12.6: Objektstruktur für Tetraeder. Nicht gezeichnet sind Halbkanten für F_3 und F_4